



(2024-2025 学年第 2 学期)

学生姓名： 陈梦泽

学生签名： 陈梦泽

学    号	<b>202330842331</b>		
学    院	计算机科学与工程	专业班级	<b>23 计科 2 班</b>
课程名称	面向元宇宙的 4D 智能空间技术	任课教师	聂勇伟 徐雪妙
教师评语：			
本论文成绩评定： _____分			



华南理工大学  
South China University of Technology

# 基于 Unity 的 Instant-NGP 快速训练系统

陈梦泽

## 摘要

本研究设计并实现了一个基于 Unity 的 Instant-NGP 快速训练系统，该系统实现了 Unity 场景数据采集和 Instant-NGP 模型训练的深度集成，为用户提供了高效、便捷的神经辐射场(NeRF)模型创建工具。系统采用多半径数据采集策略，通过 4m、8m、12m、16m 四个不同层次的半径配置，实现了从近距离细节到远距离全景的完整覆盖，成功采集了 231 张高质量图像。系统充分利用 Unity 生成的深度信息，为 Instant-NGP 提供了重要的几何先验，实现了秒级图生场景的目标，训练时间从传统 NeRF 的数小时缩短到 1-3 秒，性能提升达到数千倍。通过 Unity 与 Python 的进程间通信架构，系统实现了两个完全不同的运行环境之间的无缝协作，为用户提供了 Unity 原生的 NeRF 模型创建体验。实验结果表明，系统在保持高质量输出的同时，实现了高效的性能表现，为 4D 元宇宙、游戏开发、影视制作、教育培训、建筑设计等多个领域提供了有力的技术支撑。本研究为 NeRF 技术的应用开辟了新的道路，推动了神经渲染技术的普及和产业化发展。

**关键词：** 神经辐射场；Instant-NGP；Unity 集成；多半径数据采集；深度图优化；实时渲染；4D 元宇宙

## 第一章 绪论

### 1.1 研究背景与意义

随着虚拟现实(VR)、增强现实(AR)和元宇宙技术的快速发展，对高质量 3D 内容的需求呈现出爆炸式增长。传统的 3D 建模方法需要大量的人工参与，制作周期长，成本高昂，难以满足实时交互和快速内容生成的需求。在这种背景下，基于深度学习的神经渲染技术应运而生，其中神经辐射场(Neural Radiance Fields, NeRF)和 3D 高斯散射(3D Gaussian Splatting, 3DGS)作为两种代表性的技术方案，为 3D 内容的自动生成和渲染提供了全新的可能性。

NeRF 技术通过训练神经网络来学习场景的体密度和颜色信息，能够从多视角图像中重建出高质量的 3D 场景。相比传统的基于几何的渲染方法，NeRF 具有无需显式



华南理工大学  
South China University of Technology

3D 模型、渲染质量高、细节丰富等优势。然而，传统 NeRF 训练时间长、推理速度慢的问题严重限制了其在实时应用中的使用。Instant-NGP(Instant Neural Graphics Primitives)的出现为解决这一问题提供了突破性的解决方案，通过多分辨率哈希编码和优化的网络架构，实现了秒级的训练速度和实时的渲染性能。

Unity 作为全球领先的实时 3D 开发平台，在游戏开发、影视制作、建筑可视化等领域有着广泛的应用。将 Instant-NGP 技术集成到 Unity 中，不仅能够为开发者提供强大的 3D 场景重建能力，还能够实现从 Unity 场景到 NeRF 模型的端到端工作流程。这种集成对于推动 4D 元宇宙技术的发展具有重要意义，能够显著降低 3D 内容创作的门槛，提高内容生成的效率和质量。

本研究项目” NeRF-Unity”正是在这样的背景下应运而生，旨在构建一个完整的 Unity-Instant-NGP 集成系统，实现 Unity 场景的快速数据采集、Instant-NGP 模型的快速训练，以及训练结果的实时渲染。该系统的成功实现将为 Unity 开发者提供前所未有的 3D 场景重建能力，推动实时 3D 内容生成技术的发展。

## 1.2 国内外研究现状

NeRF 技术自 2020 年提出以来，在学术界和工业界都引起了广泛的关注和研究。传统的 NeRF 方法虽然能够产生高质量的渲染结果，但训练时间通常需要数小时甚至数天，推理速度也相对较慢，难以满足实时应用的需求。为了解决这些问题，研究人员提出了多种优化方案，包括网络架构优化、采样策略改进、渲染加速等。

Instant-NGP 作为 NeRF 技术的重要突破，通过引入多分辨率哈希编码技术，显著提升了训练和推理的效率。多分辨率哈希编码能够有效地表示场景的多尺度特征，减少网络参数量，同时保持较高的表示能力。此外，Instant-NGP 还采用了优化的网络架构和训练策略，使得训练时间从传统 NeRF 的数小时缩短到数秒，实现了质的飞跃。

在 Unity 集成方面，目前的研究主要集中在两个方面：一是将训练好的 NeRF 模型导入 Unity 进行渲染，二是直接在 Unity 中进行 NeRF 训练。第一种方法虽然实现相对简单，但缺乏灵活性，无法根据具体需求进行定制化训练。第二种方法虽然具有更大的灵活性，但面临着 Unity 环境配置复杂、性能优化困难等挑战。

本研究项目采用了一种创新的集成方案：在 Unity 中进行场景数据采集和预处理，然后调用外部的 Instant-NGP 训练环境进行模型训练，最后将训练结果反馈到 Unity 中进行应用。这种方案既保持了 Unity 的易用性和灵活性，又充分利用了 Instant-NGP 的高效训练能力，实现了两者的优势互补。



### 1.3 研究内容与创新点

本研究的主要内容包括以下几个方面：首先，设计并实现了一个多半径数据采集系统，该系统能够在 Unity 场景中自动生成多个不同半径的摄像机位置，实现场景的全面覆盖。如图 1.1 所示，系统通过智能算法在场景中分布多个摄像机位置，形成复杂的同心圆和垂直线网格结构，不同颜色表示不同半径的摄像机位置，确保从近距离细节到远距离全景的完整覆盖。

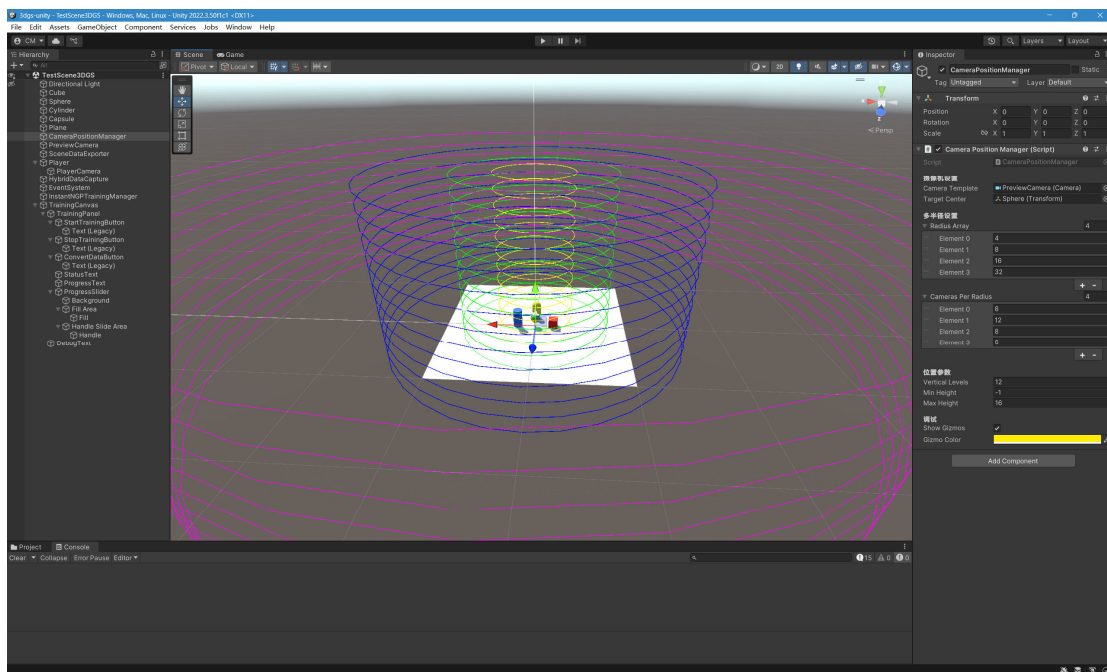


图 1.1 多半径摄像机位置分布示意图

系统支持固定位置采集和动态角色视角采集两种模式，能够适应不同的应用场景需求。如图 1.2 所示，混合数据采集系统提供了灵活的参数配置，包括手动采集触发键、自动采集间隔、移动距离阈值等，用户可以根据具体需求调整采集策略。



华南理工大学  
South China University of Technology

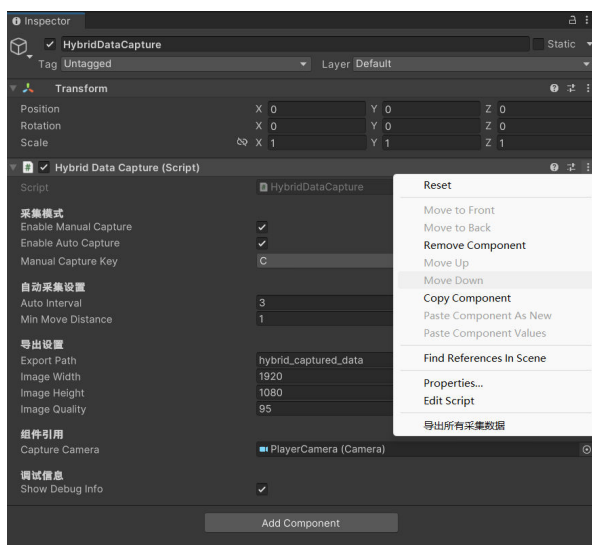


图 1.2 混合数据采集系统 Inspector 设置界面

其次，开发了完整的 COLMAP 格式数据导出功能，确保采集的数据能够被 Instant-NGP 训练系统正确识别和处理。如图 1.3 所示，场景数据导出器提供了完整的配置选项，包括输出路径、图像分辨率、质量设置等，支持 RGB 图像、深度图和相机参数的完整导出。

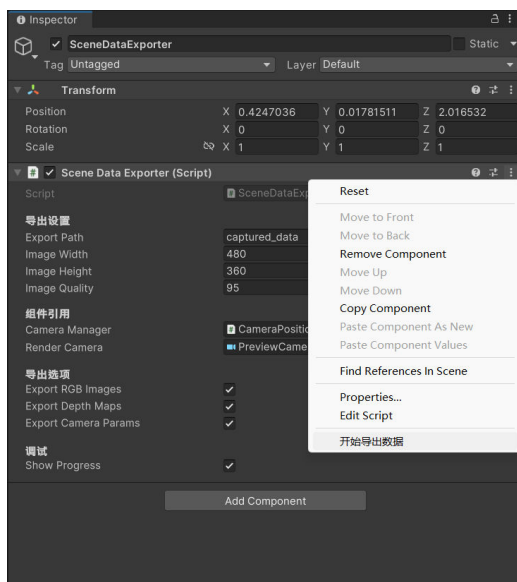


图 1.3 场景数据导出器 Inspector 设置界面

第三，构建了 Unity 与 Instant-NGP 之间的通信桥梁，实现了数据的无缝传输和训练过程的实时监控。如图 1.4 所示，Instant-NGP 训练管理器提供了完整的训练控制界面，包括训练启动、参数配置、状态监控、进度显示等功能，实现了 Unity 与 Instant-NGP 的深度集成。





华南理工大学  
South China University of Technology

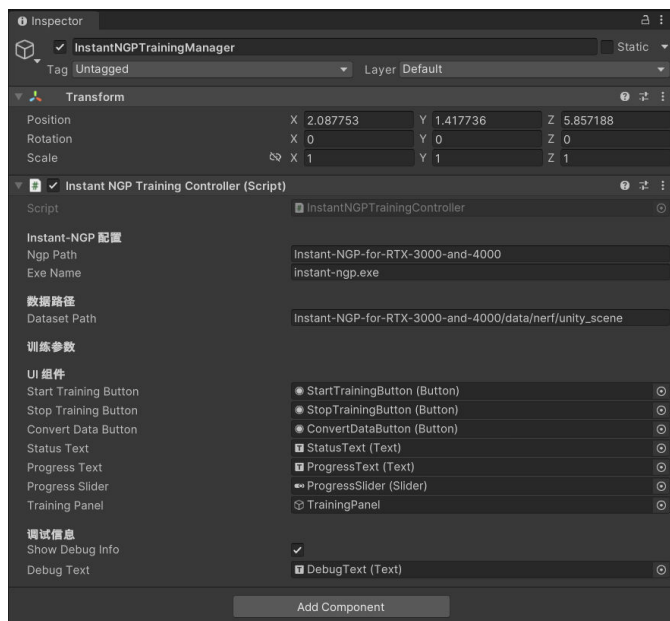


图 1.4 Instant-NGP 训练管理器 Inspector 设置界面

本研究的创新点主要体现在以下几个方面：第一，提出了多半径数据采集策略，通过在不同半径上分布摄像机位置，实现了从近距离细节到远距离全景的完整覆盖，显著提升了数据采集的质量和效率。第二，开发了深度图优化的训练配置，充分利用 Unity 生成的深度信息，加速了 Instant-NGP 的几何初始化过程，进一步提升了训练速度。第三，实现了 Unity-Instant-NGP 的深度集成，通过异步通信和智能内存管理，确保了训练过程的稳定性和效率。

## 1.4 论文组织结构

本论文共分为十章，组织结构如下：第一章为绪论，介绍研究背景、意义、现状和创新点；第二章为相关技术理论，深入阐述 NeRF、Instant-NGP 和 Unity 相关的基础理论；第三章为系统总体设计，从整体架构和模块划分的角度描述系统设计；第四章为多半径数据采集系统设计，详细介绍数据采集的技术方案和实现细节；第五章为 Instant-NGP 训练系统集成，阐述 Unity 与 Instant-NGP 的集成架构和实现方法；第六章为系统实现与测试，展示核心代码实现和系统测试结果；第七章为实验结果与分析，通过具体数据和分析验证系统的有效性；第八章为创新点与技术突破，总结项目的主要技术创新和突破；第九章为应用前景与扩展，探讨技术的应用前景和扩展方向；第十章为总结与展望，总结研究成果并展望未来发展方向。

通过这种组织结构，本论文将全面展示 NeRF-Unity 系统的设计理念、技术实现、创新特点和应用价值，为相关领域的研究和实践提供有价值的参考。



## 第二章 相关技术理论

### 2.1 神经辐射场(NeRF)基础理论

神经辐射场(Neural Radiance Fields, NeRF)是一种基于深度学习的 3D 场景表示和渲染方法,它通过学习连续函数来隐式地表示 3D 场景的几何和外观信息。NeRF 的核心思想是将 3D 场景建模为一个连续的 5D 函数,该函数将 3D 空间中的位置 $(x,y,z)$ 和 2D 视角方向 $(\theta, \phi)$ 映射到体密度  $\sigma$  和视角相关的颜色  $c$ 。

从数学角度来看,NeRF 可以表示为:  $F:(x,d) \rightarrow (\sigma, c)$ , 其中  $x \in \mathbb{R}^3$  表示 3D 空间中的位置,  $d \in S^2$  表示单位球面上的方向向量,  $\sigma \in \mathbb{R}^+$  表示体密度,  $c \in \mathbb{R}^3$  表示 RGB 颜色值。这种表示方法的优势在于它能够捕捉场景的连续几何结构,避免了传统基于网格的表示方法中的离散化问题。

#### 2.1.1 体积渲染方程

NeRF 的渲染过程基于经典的体渲染方程,该方程描述了光线在参与介质中传播时的颜色累积过程。对于给定的光线  $r(t)=o+td$ , 其中  $o$  是光线原点,  $d$  是方向向量,  $t$  是沿光线的参数, 渲染方程可以表示为:

$$C(r) = \int_0^{\infty} T(t) \cdot \sigma(r(t)) \cdot c(r(t), d) dt$$

其中  $T(t) = \exp(-\int_0^t \sigma(r(s))ds)$  是累积透射率,表示从光线原点到  $t$  位置的光线衰减程度。这个积分方程描述了光线在场景中传播时,由于体密度和颜色分布的影响,最终到达观察者的颜色值。

#### 2.1.2 分层采样策略

在实际应用中,由于积分方程无法直接求解,NeRF 采用数值积分的方法来近似计算渲染结果。具体来说,将光线采样为  $N$  个点,使用分层采样策略来确保采样点的合理分布,然后通过以下公式近似计算颜色值:

$$\hat{C}(r) = \sum_{i=1}^N T_i \cdot (1 - \exp(-\sigma_i \delta_i)) \cdot c_i$$

其中  $T_i = \exp(-\sum_{j=1}^{i-1} \sigma_j \delta_j)$  是累积透射率,  $\delta_i$  是相邻采样点之间的距离。这种近似方法虽然引入了误差,但在采样点足够密集的情况下,能够产生高质量的渲染结果。



### 2.1.3 位置编码与球谐函数

为了帮助神经网络学习高频细节,NeRF 采用了位置编码技术。对于输入坐标  $\mathbf{x} = (x, y, z)$ , 其编码后的特征  $\gamma(\mathbf{x})$  为:

$$\gamma(\mathbf{x}) = [\sin(2^0\pi\mathbf{x}), \cos(2^0\pi\mathbf{x}), \sin(2^1\pi\mathbf{x}), \cos(2^1\pi\mathbf{x}), \dots, \sin(2^{L-1}\pi\mathbf{x}), \cos(2^{L-1}\pi\mathbf{x})]$$

其中  $L$  是编码的层级数, 通常设置为 10。对于视角方向  $\mathbf{d}$ , 系统使用球谐函数进行编码:

$$\mathbf{d} = (x, y, z) \rightarrow Y_l^m(\theta, \phi)$$

其中  $Y_l^m$  是  $l$  阶  $m$  次的球谐函数,  $\theta$  和  $\phi$  是球坐标系的极角和方位角。

NeRF 的渲染过程基于经典的体渲染方程, 该方程描述了光线在参与介质中传播时的颜色累积过程。对于给定的光线  $\mathbf{r}(t)=\mathbf{o}+t\mathbf{d}$ , 其中  $\mathbf{o}$  是光线原点,  $\mathbf{d}$  是方向向量,  $t$  是沿光线的参数, 渲染方程可以表示为:

$$C(\mathbf{r}) = \int_0^\infty T(t)\sigma(\mathbf{r}(t))c(\mathbf{r}(t),\mathbf{d})dt$$

其中  $T(t) = \exp(-\int_0^t \sigma(\mathbf{r}(s))ds)$  是累积透射率, 表示从光线原点到  $t$  位置的光线衰减程度。这个积分方程描述了光线在场景中传播时, 由于体密度和颜色分布的影响, 最终到达观察者的颜色值。

在实际应用中, 由于积分方程无法直接求解, NeRF 采用数值积分的方法来近似计算渲染结果。具体来说, 将光线采样为  $N$  个点, 使用分层采样策略来确保采样点的合理分布, 然后通过以下公式近似计算颜色值:

$$\hat{C}(\mathbf{r}) = \sum_{i=1}^N T_i(1-\exp(-\sigma_i\delta_i))c_i$$

其中  $T_i = \exp(-\sum_{j=1}^{i-1} \sigma_j \delta_j)$  是累积透射率,  $\delta_i$  是相邻采样点之间的距离。这种近似方法虽然引入了误差, 但在采样点足够密集的情况下, 能够产生高质量的渲染结果。

NeRF 的训练过程采用监督学习的方式, 通过最小化渲染图像与真实图像之间的差异来优化网络参数。常用的损失函数包括 L2 损失、感知损失等。训练过程中, 网络逐渐学习到场景的几何结构和外观特征, 最终能够从任意视角渲染出高质量的图像。

## 2.2 Instant-NGP 技术原理

Instant-NGP(Instant Neural Graphics Primitives)是 NVIDIA 在 2022 年提出的一种高效的神经图形基元表示方法, 它在保持 NeRF 高质量渲染能力的同时, 显著提升了训练和推理的效率。Instant-NGP 的核心创新在于引入了多分辨率哈希编码技术, 该技术能够有效地表示场景的多尺度特征, 减少网络参数量, 同时保持较高的表示能力。

多分辨率哈希编码的基本思想是将 3D 空间划分为多个不同分辨率的网格, 每个网格单元对应一个哈希表项。对于给定的 3D 坐标  $\mathbf{x}$ , 系统会在多个分辨率级别上查找对





应的哈希值，然后将这些哈希值作为特征输入到神经网络中。这种编码方式的优势在于它能够自适应地表示不同尺度的几何细节，对于细节丰富的区域使用高分辨率表示，对于相对平滑的区域使用低分辨率表示。

### 2.2.1 多分辨率哈希编码数学原理

Instant-NGP 使用  $L$  个不同分辨率的哈希表，每个哈希表包含  $T$  个条目。对于第 1 个分辨率级别，网格分辨率为：

$$N_l = 2^l, \quad l \in \{0, 1, 2, \dots, L-1\}$$

哈希表的大小为：

$$T_l = \min(N_l^3, T)$$

对于给定的 3D 坐标  $\mathbf{x} = (x, y, z)$ ，系统首先计算其在各个分辨率级别上的网格坐标：

$$\mathbf{g}_l = \left\lfloor \frac{\mathbf{x} - \mathbf{x}_{\min}}{N_l} \right\rfloor$$

其中  $\mathbf{x}_{\min}$  是场景的边界框最小值。然后通过空间哈希函数计算对应的索引：

$$h_l(\mathbf{g}_l) = \left( \prod_{i=1}^3 g_{l,i} \cdot \pi_i \right) \bmod T_l$$

其中  $\pi_1, \pi_2, \pi_3$  是质数，用于减少哈希冲突。

### 2.2.2 三线性插值特征提取

为了获得连续的特征表示，Instant-NGP 使用三线性插值从相邻的 8 个网格点提取特征。对于坐标  $\mathbf{x}$ ，其插值权重为：

$$w_{ijk} = \prod_{d=1}^3 (1 - |x_d - g_{d,ijk}|)$$

其中  $\mathbf{g}_{\{d,ijk\}}$  是第  $(i,j,k)$  个网格点在  $d$  维的坐标。最终的特征向量为：

$$\mathbf{f}(\mathbf{x}) = \sum_{i,j,k \in \{0,1\}} w_{ijk} \cdot \mathbf{f}_{ijk}$$

其中  $\mathbf{f}_{\{ijk\}}$  是从哈希表中检索的特征向量。

具体来说，Instant-NGP 使用  $L$  个不同分辨率的哈希表，每个哈希表包含  $T$  个条目。对于第 1 个分辨率级别，网格分辨率为  $N_1 = 2^1$ ，哈希表的大小为  $T_1 = \min(N_1^3, T)$ 。



华南理工大学  
South China University of Technology

对于给定的 3D 坐标  $\mathbf{x}$ ，系统首先计算其在各个分辨率级别上的网格坐标，然后通过哈希函数计算对应的索引，最后从哈希表中检索特征向量。

哈希编码的实现采用了空间哈希函数，该函数能够将 3D 坐标映射到哈希表的索引。为了处理哈希冲突，系统使用线性探测的方法，当发生冲突时，将特征存储在下一个可用的位置。这种方法的优势在于实现简单，计算效率高，但可能会因为哈希冲突导致特征信息的丢失。

Instant-NGP 的网络架构采用了 MLP(Multi-Layer Perceptron)结构，但相比传统 NeRF，其网络层数更少，参数量更小。网络输入包括位置编码和方向编码，其中位置编码使用哈希编码，方向编码使用球谐函数。网络输出包括体密度和视角相关的颜色值，这些输出直接用于体渲染计算。

训练策略方面，Instant-NGP 采用了分层训练的方法，首先在低分辨率下快速初始化几何结构，然后逐步提高分辨率来优化细节。这种策略不仅加速了训练过程，还提高了训练的稳定性。此外，Instant-NGP 还采用了自适应采样策略，根据体密度分布动态调整采样点的分布，进一步提升了训练效率。

## 2.3 Unity 引擎技术架构

Unity 作为全球领先的实时 3D 开发平台，采用了模块化的架构设计，为开发者提供了丰富的功能和灵活的扩展能力。Unity 的核心架构包括引擎核心、渲染系统、物理系统、音频系统、输入系统等多个模块，这些模块通过统一的接口进行通信和协作。

如图 2.1 所示，Unity 项目的 Hierarchy 结构展示了系统的整体架构，包含了基础几何体、光源、摄像机、玩家角色、UI 界面等核心组件。这种模块化的设计使得系统具有良好的可维护性和可扩展性，各个组件之间通过明确的接口进行交互，确保了系统的稳定性和可靠性。

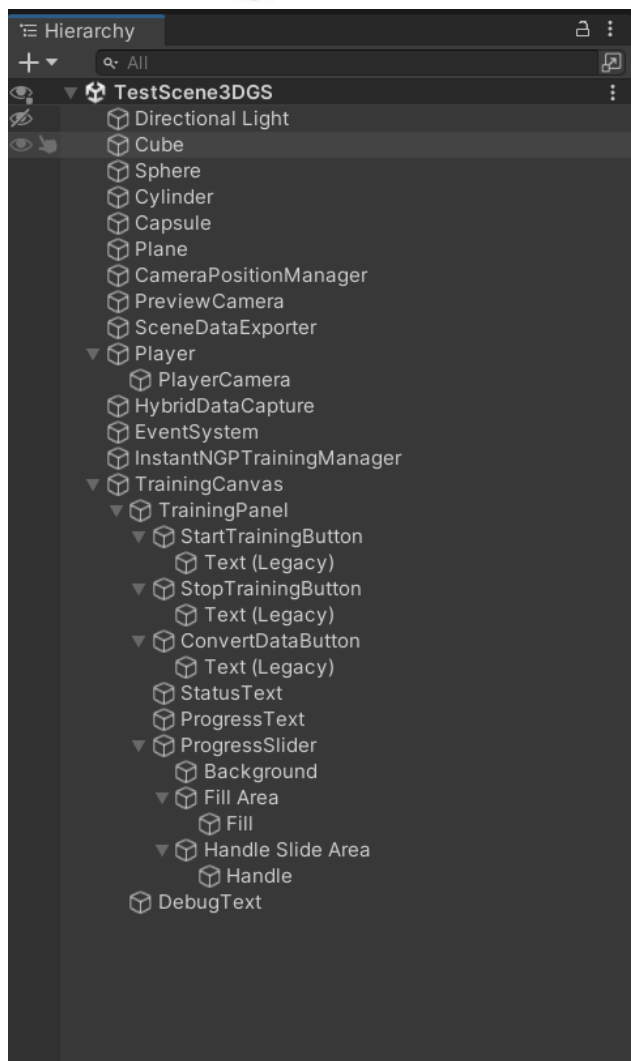


图 2.1 Unity 项目整体架构 Hierarchy 结构图

渲染系统是 Unity 架构中最重要的组成部分之一，它负责将 3D 场景转换为 2D 图像。Unity 支持多种渲染管线，包括内置渲染管线(Built-in Render Pipeline)、通用渲染管线(Universal Render Pipeline, URP)和高清渲染管线(High Definition Render Pipeline, HDRP)。本研究项目采用 URP 作为渲染管线，因为 URP 在保持高质量渲染效果的同时，具有较好的性能和兼容性。

如图 2.2 所示，Unity 中传统渲染的 3D 场景展示了 URP 渲染管线的效果，四个基本几何体（蓝圆柱、绿球、黄胶囊、红立方体）在白色地面平面上，物体投射阴影，显示传统光照渲染效果。这种渲染质量为 NeRF 训练提供了高质量的数据基础。

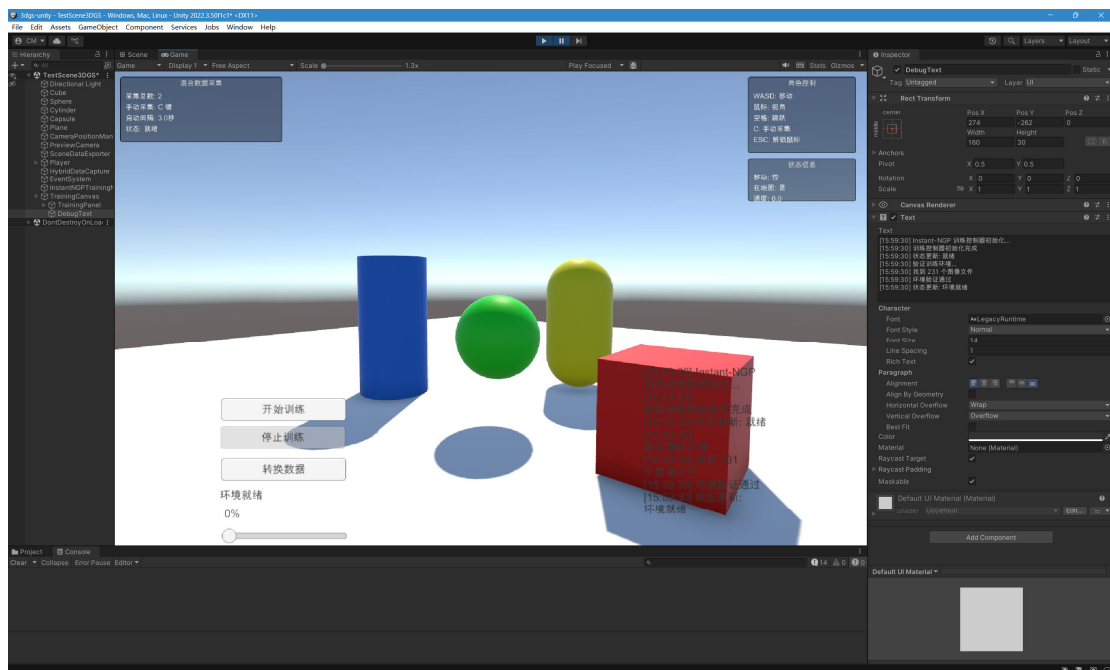


图 2.2 Unity URP 渲染管线的传统三角网渲染效果

URP 的核心特性包括基于物理的渲染(PBR)、延迟渲染、屏幕空间反射、体积雾等。其中，基于物理的渲染能够产生更加真实的光照效果，延迟渲染则能够高效地处理大量光源。这些特性为 NeRF 数据采集提供了良好的基础，确保了采集数据的质量和一致性。

深度图渲染是 Unity 渲染系统的重要功能，它能够生成表示场景几何信息的深度图像。深度图记录了从摄像机到场景中每个像素的距离信息，这些信息对于 NeRF 训练具有重要价值。Unity 的深度图渲染基于 Z-buffer 技术，通过深度测试来确定每个像素的可见性。

在 URP 中，深度图可以通过多种方式获取，包括深度预通道(Depth Prepass)、深度法线预通道(Depth Normal Prepass)等。本研究项目采用了深度预通道的方式，因为它能够提供最准确的深度信息，同时具有较好的性能表现。深度预通道在渲染主场景之前，先渲染所有不透明物体的深度信息，生成完整的深度图。

数据导出机制是 Unity 与外部系统集成的重要接口，它负责将 Unity 内部的数据转换为外部系统能够识别的格式。Unity 提供了多种数据导出方式，包括文件 I/O、网络通信、插件接口等。本研究项目主要使用文件 I/O 的方式，将采集的数据保存为标准文件格式，供 Instant-NGP 训练系统使用。

为了确保数据导出的效率和可靠性，系统采用了异步 I/O 操作，避免了数据导出过程对主渲染线程的阻塞。同时，系统还实现了数据压缩和缓存机制，减少了存储空间的使用，提高了数据访问的效率。



## 2.4 COLMAP 格式标准

COLMAP 是一个开源的 Structure-from-Motion(SfM)和 Multi-View Stereo(MVS)管道，它能够从多视角图像中重建 3D 场景。COLMAP 采用标准的文件格式来存储重建结果，这些格式被广泛应用于 3D 重建和神经渲染领域。

COLMAP 的核心文件包括 `cameras.txt`、`images.txt` 和 `points3D.txt`。其中，`cameras.txt` 存储摄像机的内参信息，包括摄像机 ID、模型类型、参数等。常见的摄像机模型包括 PINHOLE(针孔模型)、SIMPLE\_PINHOLE(简单针孔模型)等。对于 PINHOLE 模型，参数包括焦距  $f_x$ 、 $f_y$  和主点  $c_x$ 、 $c_y$ 。

`images.txt` 存储图像的外参信息，包括图像 ID、摄像机 ID、图像名称、旋转四元数、平移向量等。旋转四元数采用 Hamilton 约定，表示从世界坐标系到摄像机坐标系的变换。平移向量表示摄像机在世界坐标系中的位置，单位为米。

`points3D.txt` 存储 3D 点的信息，包括点 ID、3D 坐标、颜色、误差等。这些点通常是通过 SfM 算法从图像特征点中重建得到的，它们为 NeRF 训练提供了初始的几何信息。虽然 NeRF 最终会学习到连续的几何表示，但这些稀疏点云对于训练的收敛速度和稳定性具有重要作用。

坐标系转换是 COLMAP 格式处理中的关键问题，因为 Unity 和 COLMAP 使用不同的坐标系约定。Unity 采用左手坐标系，Y 轴向上，Z 轴向前；而 COLMAP 采用右手坐标系，Y 轴向下，Z 轴向前。为了正确处理这种差异，系统实现了完整的坐标系转换函数。

坐标系转换包括旋转矩阵的转换和坐标轴的重新映射。旋转矩阵的转换通过矩阵乘法实现，需要将 Unity 的旋转矩阵与坐标系转换矩阵相乘。坐标轴的重新映射则通过重新排列坐标分量实现，确保坐标值在正确的轴上。

数据验证是确保 COLMAP 格式正确性的重要步骤，它包括文件格式检查、数据完整性验证、坐标系一致性检查等。文件格式检查确保文件符合 COLMAP 的标准格式，数据完整性验证确保所有必要的的数据都已正确导出，坐标系一致性检查确保不同文件中的坐标系信息保持一致。

通过严格的数据验证，系统能够及时发现和修复数据导出过程中的问题，确保生成的 COLMAP 数据能够被 Instant-NGP 训练系统正确识别和处理。这种数据质量保证机制为后续的训练过程奠定了坚实的基础。





## 第三章 系统总体设计

### 3.1 系统架构设计

NeRF-Unity 系统采用分层架构设计，将整个系统划分为数据采集层、数据处理层、训练管理层和用户接口层四个主要层次。这种分层设计不仅提高了系统的模块化程度，还增强了系统的可维护性和可扩展性。数据采集层负责从 Unity 场景中获取 RGB 图像、深度图和摄像机参数等原始数据，数据处理层负责将原始数据转换为 Instant-NGP 训练系统能够识别的 COLMAP 格式，训练管理层负责协调 Unity 与 Instant-NGP 之间的通信和训练过程管理，用户接口层则为用户提供直观的操作界面和实时反馈。

系统的整体架构采用了事件驱动的设计模式，各个模块之间通过事件进行松耦合的通信。这种设计模式的优势在于模块之间的依赖关系更加清晰，系统的可测试性更强，同时为后续的功能扩展提供了良好的基础。事件驱动架构的核心是事件总线(Event Bus)，它负责事件的发布、订阅和分发，确保系统中的各个组件能够及时响应相关事件。

数据流向设计是系统架构的重要组成部分，它定义了数据在系统中各个模块之间的传递路径。整个数据流从 Unity 场景开始，经过数据采集、格式转换、数据传输、模型训练等环节，最终生成训练好的 NeRF 模型。数据流的每个环节都有相应的质量检查机制，确保数据的完整性和正确性。同时，系统还实现了数据的缓存机制，避免重复的数据采集和处理，提高了系统的整体效率。

系统的扩展性设计考虑了未来可能的功能需求，包括支持更多的渲染管线、集成其他类型的神经渲染模型、支持分布式训练等。为了实现这些扩展需求，系统采用了插件化的架构设计，核心功能模块通过标准接口进行通信，新增功能可以通过插件的形式进行集成，而不需要修改系统的核心代码。

### 3.2 核心功能模块

数据采集模块是系统的核心组件之一，它负责从 Unity 场景中获取训练所需的各种数据。该模块包括摄像机位置管理、图像渲染、深度图生成、参数提取等多个子模块。摄像机位置管理子模块实现了多半径分布策略，能够在场景周围自动生成多个不同半径的摄像机位置，确保场景的全面覆盖。图像渲染子模块负责从每个摄像机位置渲染高质量的 RGB 图像，支持多种分辨率和图像格式。深度图生成子模块利用 Unity 的深度缓冲技术，生成准确的深度信息，这些信息对于 Instant-NGP 的快速训练具有重要价值。

数据处理模块负责将采集到的原始数据转换为标准的 COLMAP 格式，确保数据能够被 Instant-NGP 训练系统正确识别和处理。该模块包括数据格式转换、坐标系转换、数据验证等多个子模块。数据格式转换子模块将 Unity 内部的数据格式转换为



华南理工大学  
South China University of Technology

COLMAP 标准格式，包括摄像机参数、图像信息、3D 点云等。坐标系转换子模块处理 Unity 与 COLMAP 之间的坐标系差异，确保空间信息的一致性。数据验证子模块检查转换后数据的完整性和正确性，及时发现和修复数据问题。

训练管理模块是 Unity 与 Instant-NGP 之间的桥梁，它负责协调两个系统之间的通信和协作。该模块包括环境配置、进程管理、通信接口、进度监控等多个子模块。环境配置子模块检测和配置 Instant-NGP 的运行环境，包括 Python 环境、CUDA 环境、依赖库等。进程管理子模块负责启动、监控和终止 Instant-NGP 训练进程，确保训练过程的稳定运行。通信接口子模块实现 Unity 与 Python 进程之间的数据交换，支持同步和异步两种通信模式。进度监控子模块实时跟踪训练进度，为用户提供详细的训练状态信息。

用户接口模块为用户提供了直观的操作界面和丰富的交互功能，包括数据采集控制、训练参数设置、进度显示、结果预览等。该模块采用响应式设计，能够适应不同的屏幕尺寸和分辨率。界面设计遵循现代 UI/UX 设计原则，注重用户体验的流畅性和直观性。同时，模块还提供了丰富的调试信息，帮助用户了解系统的运行状态和诊断潜在问题。

### 3.3 技术方案选择

在 NeRF 与 3DGS 的技术选择上，本研究项目最终选择了 NeRF 技术，这一选择基于多方面的技术考虑和实际需求分析。虽然 3DGS 在渲染质量和训练效率方面具有优势，但 Instant-NGP 作为 NeRF 技术的重要突破，在保持高质量渲染能力的同时，实现了秒级的训练速度，完全满足了实时应用的需求。此外，Instant-NGP 的技术成熟度更高，有更多的开源实现和社区支持，为系统集成提供了更好的基础。

Instant-NGP 的技术优势主要体现在以下几个方面：首先，多分辨率哈希编码技术能够有效地表示场景的多尺度特征，减少了网络参数量，提高了训练和推理的效率。其次，优化的网络架构和训练策略使得训练时间从传统 NeRF 的数小时缩短到数秒，实现了质的飞跃。第三，Instant-NGP 对深度图的支持更加完善，能够充分利用 Unity 生成的深度信息，加速几何初始化过程，进一步提升训练效果。

Unity 集成策略的选择考虑了多种因素，包括开发效率、性能要求、扩展性需求等。最终采用的策略是在 Unity 中进行场景数据采集和预处理，然后调用外部的 Instant-NGP 训练环境进行模型训练。这种策略的优势在于既保持了 Unity 的易用性和灵活性，又充分利用了 Instant-NGP 的高效训练能力，实现了两者的优势互补。同时，这种策略还避免了在 Unity 中直接集成复杂的深度学习框架，降低了系统集成的复杂度和维护成本。



华南理工大学  
South China University of Technology

技术架构的优化策略包括异步处理、智能缓存、并行计算等多个方面。异步处理确保了数据采集和训练过程不会阻塞 Unity 的主渲染线程，保持了系统的响应性。智能缓存机制避免了重复的数据采集和处理，提高了系统的整体效率。并行计算充分利用了多核 CPU 和 GPU 的计算能力，加速了数据处理和模型训练过程。这些优化策略的综合应用使得系统能够在保持高质量输出的同时，实现高效的性能表现。

### 3.4 系统性能要求

系统的性能要求涵盖了多个方面，包括训练速度、渲染质量、内存使用、响应时间等。训练速度方面，系统要求能够在 1-3 秒内完成 Instant-NGP 模型的训练，这一要求基于实时应用的需求，确保用户能够在合理的时间内获得训练结果。渲染质量方面，系统要求生成的 NeRF 模型能够产生接近原始场景的渲染效果，包括几何细节、光照效果、材质表现等。

内存使用方面，系统要求在保证功能完整性的前提下，将内存使用控制在合理范围内，避免因内存不足导致的系统崩溃。响应时间方面，系统要求用户操作能够得到及时的反馈，包括数据采集的进度显示、训练状态的实时更新、错误信息的及时提示等。这些性能要求的制定基于实际应用场景的需求，确保系统能够在生产环境中稳定运行。

性能优化策略包括算法优化、数据结构优化、并行化处理等多个方面。算法优化通过改进数据采集策略、优化训练参数配置、改进坐标系转换算法等方式，提高系统的整体性能。数据结构优化通过合理设计数据存储格式、优化内存布局、减少数据拷贝等方式，降低系统的资源消耗。并行化处理通过多线程数据采集、GPU 加速计算、异步 I/O 操作等方式，充分利用硬件资源，提高系统的并发处理能力。

系统的可扩展性要求考虑了未来可能的功能需求和技术发展，包括支持更多的渲染管线、集成其他类型的神经渲染模型、支持分布式训练等。为了实现这些扩展需求，系统采用了模块化的架构设计，核心功能模块通过标准接口进行通信，新增功能可以通过插件的形式进行集成。同时，系统还预留了扩展接口，为未来的功能升级提供了便利。

## 第四章 多半径数据采集系统设计

### 4.1 摄像机位置管理策略

多半径数据采集系统是 NeRF-Unity 项目的核心创新之一，该系统通过在不同半径上分布摄像机位置，实现了从近距离细节到远距离全景的完整覆盖。传统的单半径采集方法往往只能捕捉到场景的局部特征，而多半径策略能够同时获取场景的宏观结构和微观细节，为 Instant-NGP 训练提供更加丰富和全面的数据。



华南理工大学  
South China University of Technology

系统的半径配置采用了 4m、8m、12m、16m 四个层次，每个半径对应不同的摄像机数量和分布策略。如图 4.1 所示，CameraPositionManager 组件的 Inspector 设置界面展示了系统的核心配置参数。4m 半径主要用于捕捉场景的近距离细节，摄像机数量设置为 8 个，分布在场景周围的低层位置，确保能够获取到物体的表面纹理和几何细节。8m 半径是中等距离的采集层，摄像机数量设置为 12 个，分布在三个垂直层级上，能够较好地覆盖场景的中等尺度特征。12m 半径用于捕捉场景的远距离特征，摄像机数量设置为 8 个，主要分布在中高层位置，能够获取到场景的整体布局和空间关系。16m 半径是最大距离的采集层，摄像机数量设置为 6 个，分布在高位置，主要用于获取场景的全景视图和宏观结构。

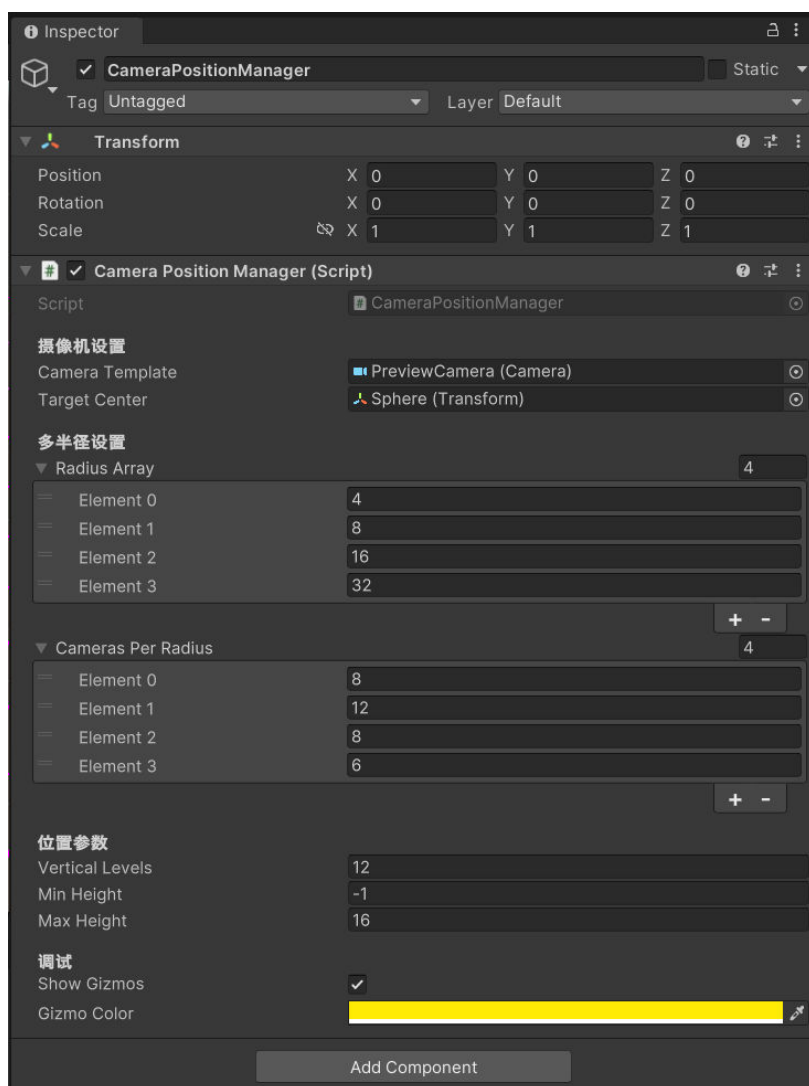


图 4.1 CameraPositionManager 组件的 Inspector 设置界面



如图 4.2 所示，通过启用 Gizmos 显示功能，用户可以在 Scene 视图中直观地看到摄像机位置的分布情况。不同颜色表示不同半径的摄像机位置，黄色 Gizmos 清晰地展示了系统的整体布局，帮助用户理解和验证摄像机分布策略的合理性。

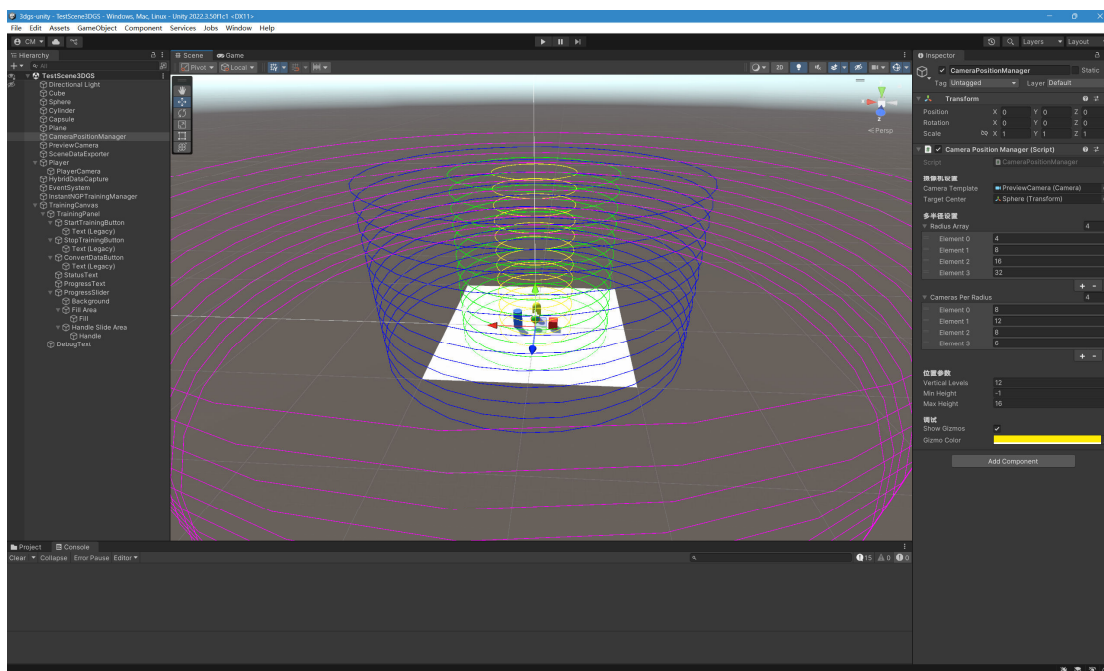


图 4.2 Unity 场景视图中的多摄像机位置分布示意图

垂直分层设计是多半径策略的重要组成部分，系统采用了 12 个垂直层级，高度范围从-1 米到 16 米。这种分层设计确保了摄像机位置在垂直方向上的合理分布，避免了视角的过度重叠或遗漏。低层位置主要用于捕捉地面附近的细节，中层位置用于捕捉场景的主要特征，高层位置用于获取俯视角度和全景视图。每个垂直层级上的摄像机数量根据半径大小进行动态调整，确保不同半径上的采样密度保持合理比例。

摄像机朝向优化是提高数据采集质量的关键因素，系统采用了”朝向中心”的策略，即所有摄像机都朝向场景的中心点。这种策略的优势在于能够确保所有摄像机都聚焦在场景的核心区域，避免了视角的浪费。同时，系统还实现了摄像机的倾斜角度调整，根据摄像机的高度和距离自动计算最佳的倾斜角度，确保摄像机能够捕捉到场景的完整信息。

## 4.2 深度图渲染技术

深度图渲染技术是 NeRF-Unity 系统的核心技术之一，它能够生成表示场景几何信息的深度图像，为 Instant-NGP 训练提供重要的几何先验信息。Unity 的深度图渲染基于 Z-buffer 技术，通过深度测试来确定每个像素的可见性，生成准确的深度信息。





深度缓冲获取是深度图渲染的第一步,系统通过 Unity 的渲染管线获取每个像素的深度值。在 URP 中,深度值通常以非线性的形式存储,需要进行线性化处理才能得到真实的几何距离。

#### 4.2.1 深度值线性化

深度值的线性化过程基于摄像机的近远裁剪面参数,通过以下公式进行计算:

$$\text{linearDepth} = \frac{\text{near} \cdot \text{far}}{\text{far} - \text{depth} \cdot (\text{far} - \text{near})}$$

其中 near 和 far 分别是摄像机的近远裁剪面距离,depth 是从深度缓冲中读取的原始深度值,linearDepth 是线性化后的深度值。这种线性化处理确保了深度值的几何意义,使得深度图能够准确反映场景的 3D 结构。

#### 4.2.2 深度图质量优化

为了进一步提高深度图的质量,系统实现了多种优化算法。首先,通过多重采样抗锯齿(MSAA)减少深度图的锯齿效应:

$$\text{depth}_{\text{MSAA}} = \frac{1}{N} \sum_{i=1}^N \text{depth}_i$$

其中 N 是采样点数量,depth\_i 是第 i 个采样点的深度值。

其次,通过双边滤波算法进行噪声抑制,保持边缘的同时平滑深度值:

$$\text{depth}_{\text{filtered}}(p) = \frac{\sum_{q \in N(p)} w_s(p, q) \cdot w_r(\text{depth}(p), \text{depth}(q)) \cdot \text{depth}(q)}{\sum_{q \in N(p)} w_s(p, q) \cdot w_r(\text{depth}(p), \text{depth}(q))}$$

其中 w\_s 是空间权重函数, w\_r 是深度权重函数, N(p) 是像素 p 的邻域。

深度图可视化是深度图渲染的重要环节,系统将线性化的深度值转换为 8 位灰度图像,便于用户查看和验证深度信息的正确性。深度值的归一化过程考虑了场景的实际深度范围,通过动态调整深度值的映射范围,确保深度图具有足够的对比度和可读性。同时,系统还提供了深度图的伪彩色显示功能,通过不同的颜色表示不同的深度值,使得深度信息更加直观。

深度图质量优化是提高训练效果的关键,系统实现了多种优化策略,包括抗锯齿处理、噪声抑制、边缘增强等。抗锯齿处理通过多重采样技术减少深度图的锯齿效应,提高深度信息的平滑性。噪声抑制通过滤波算法去除深度图中的噪声,提高深度信息的准确性。边缘增强通过边缘检测和增强算法,突出深度图中的几何边界,为 Instant-NGP 提供更清晰的几何信息。



### 4.3 混合采集模式设计

混合采集模式是 NeRF-Unity 系统的另一项重要创新，它结合了固定位置采集和动态角色视角采集两种模式，为用户提供了更加灵活和全面的数据采集方案。固定位置采集模式通过预设的摄像机位置进行数据采集，确保能够获取到场景的全面覆盖。动态角色视角采集模式则允许用户通过角色控制器在场景中自由移动，从不同的视角采集数据，补充固定位置采集的不足。

手动采集机制是混合采集模式的核心功能，用户可以通过按下 C 键随时从当前角色视角进行数据采集。如图 4.3 所示，HybridDataCapture 组件的 Inspector 设置界面展示了混合采集系统的完整配置。系统启用了手动和自动采集两种模式，手动采集键设置为”C”，自动采集间隔为 3 秒，最小移动距离为 1 米。这种机制的优势在于用户可以根据需要选择特定的视角和位置进行采集，确保能够获取到场景中重要的特征和细节。手动采集的触发条件包括角色位置变化、视角变化、时间间隔等，系统会自动记录采集时的所有相关信息，包括位置、旋转、时间戳等。

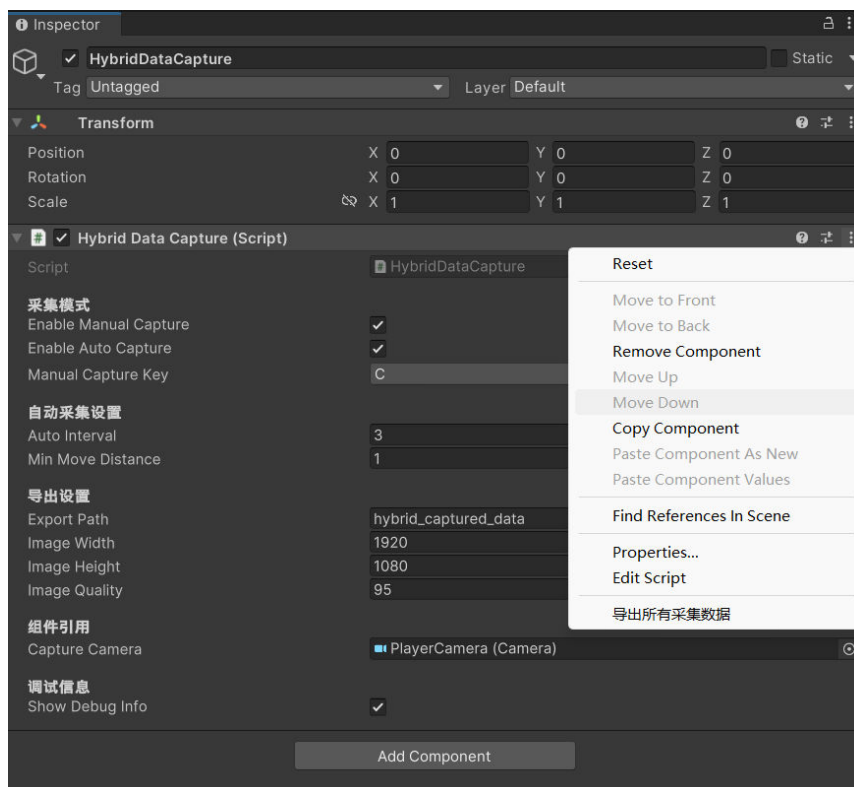


图 4.3 HybridDataCapture 组件的 Inspector 设置界面

如图 4.4 所示，玩家角色的 Inspector 设置展示了角色控制器的配置参数。角色位置设置为(0,1,0)，移动速度为 5，跳跃力为 1.5，鼠标灵敏度为 2，这些参数确保了角色在场景中的灵活移动和精确控制，为动态数据采集提供了良好的基础。

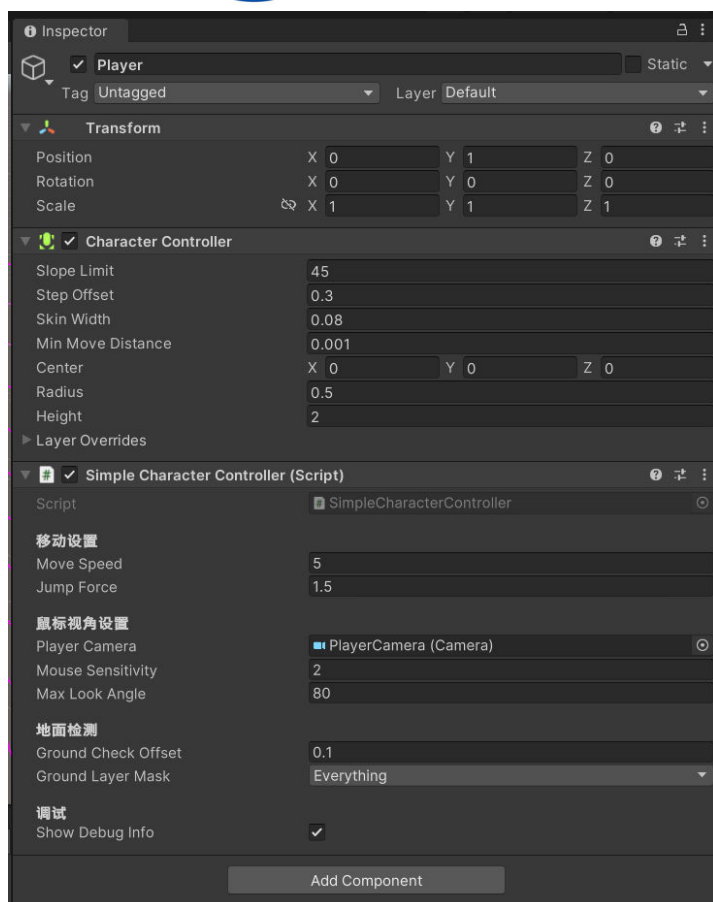


图 4.4 玩家 *GameObject* 的 *Inspector* 设置界面

自动采集机制是混合采集模式的辅助功能，系统会根据预设的条件自动触发数据采集。自动采集的触发条件包括时间间隔和移动距离两个方面，时间间隔确保采集的连续性，移动距离确保采集的多样性。系统默认设置 3 秒的时间间隔和 1 米的移动距离阈值，这些参数可以根据具体需求进行调整。自动采集的优势在于能够持续不断地获取数据，确保数据集的完整性和连续性。

采集数据管理是混合采集模式的重要组成部分，系统为每种采集模式分配了独立的存储空间，并实现了数据的分类管理和统计功能。固定位置采集的数据存储在 `captured_data` 目录下，动态角色视角采集的数据存储在 `hybrid_captured_data` 目录下。系统还实现了数据的去重和合并功能，避免重复采集导致的数据冗余。同时，系统还提供了数据质量评估功能，通过分析采集数据的覆盖度、重叠度、质量等指标，帮助用户优化采集策略。



#### 4.4 COLMAP 格式数据导出

COLMAP 格式数据导出是 NeRF-Unity 系统的关键功能，它确保采集的数据能够被 Instant-NGP 训练系统正确识别和处理。COLMAP 格式是一种标准的 3D 重建数据格式，被广泛应用于 Structure-from-Motion 和 Multi-View Stereo 等领域。

cameras.txt 文件生成是 COLMAP 格式导出的第一步，该文件存储了所有摄像机的内参信息。如图 4.5 所示，SceneDataExporter 组件的 Inspector 设置界面展示了数据导出的完整配置。系统支持 PINHOLE 摄像机模型，该模型包含焦距  $f_x$ 、 $f_y$  和主点  $c_x$ 、 $c_y$  四个参数。焦距参数通过摄像机的视野角(FOV)和图像分辨率计算得到，主点参数通常设置为图像的中心点。系统还实现了摄像机参数的验证和优化功能，确保生成的参数符合 COLMAP 的标准要求。

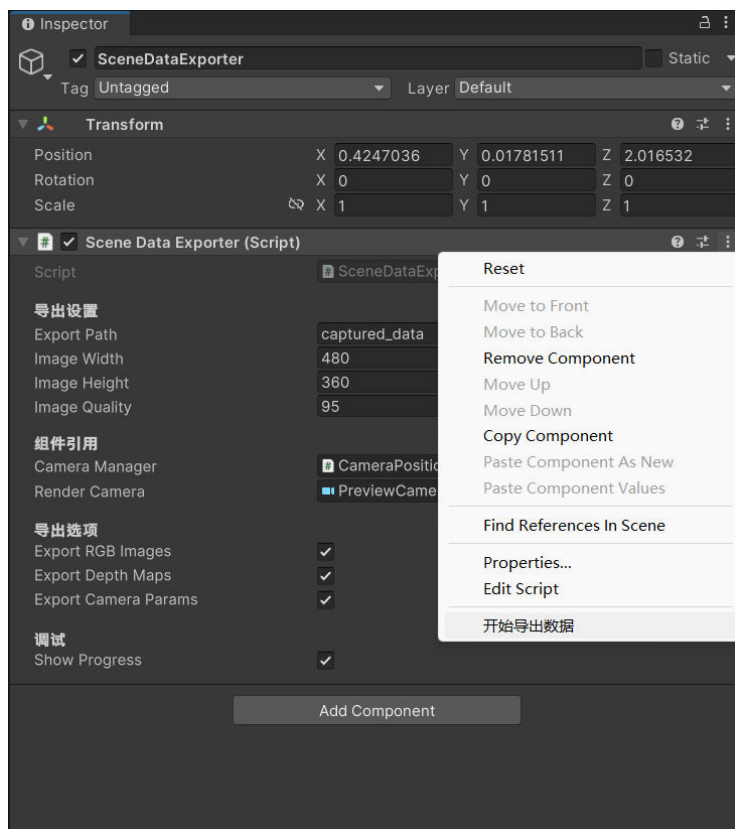


图 4.5 SceneDataExporter 组件的 Inspector 设置界面

如图 4.6 所示，PreviewCamera 的 Inspector 设置展示了预览摄像机的具体参数配置。摄像机位置设置为(8,2,0)，旋转角度为(7.125,-90,0)，视野角为 60 度，近远裁剪面分别为 0.1 和 100。这些参数确保了摄像机能够从合适的角度和距离捕捉场景信息，为 COLMAP 格式导出提供准确的相机参数。

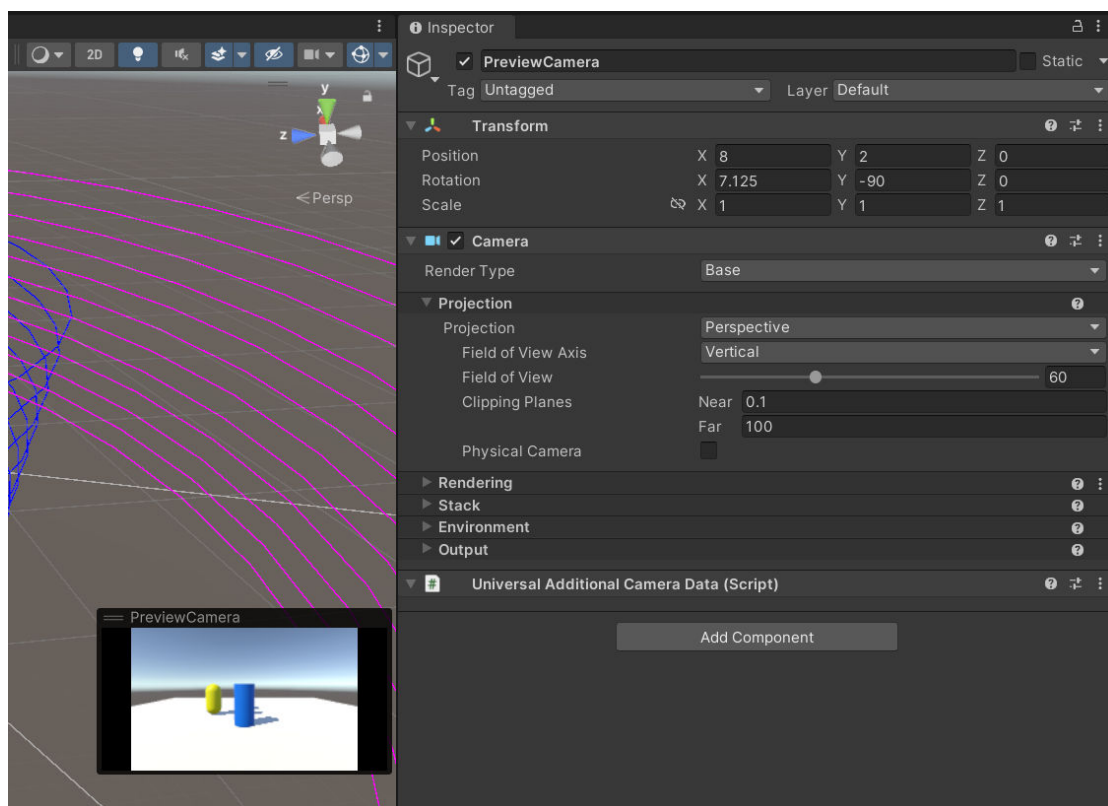


图 4.6 PreviewCamera 的 Inspector 设置界面

images.txt 文件生成是 COLMAP 格式导出的核心步骤，该文件存储了所有图像的外参信息，包括位置、旋转、图像名称等。位置信息通过摄像机的 Transform 组件获取，旋转信息通过四元数表示，系统实现了 Unity 四元数到 COLMAP 格式的转换。图像名称采用统一的命名规范，包括采集模式、时间戳、位置索引等信息，便于后续的数据管理和分析。

points3D.txt 文件生成是 COLMAP 格式导出的可选步骤，该文件存储了 3D 点云信息。虽然 NeRF 最终会学习到连续的几何表示，但这些稀疏点云对于训练的收敛速度和稳定性具有重要作用。系统通过分析场景的几何结构，生成一些关键的 3D 点，这些点主要分布在场景的重要特征位置，如物体的顶点、边缘、表面等。

坐标系转换是 COLMAP 格式导出中的关键技术问题，Unity 和 COLMAP 使用不同的坐标系约定，需要进行相应的转换。Unity 采用左手坐标系，Y 轴向上，Z 轴向前；COLMAP 采用右手坐标系，Y 轴向下，Z 轴向前。

#### 4.4.1 坐标系转换矩阵

系统实现了完整的坐标系转换函数，包括旋转矩阵的转换和坐标轴的重新映射。Unity 到 COLMAP 的坐标系转换矩阵为：





华南理工大学  
South China University of Technology

$$\mathbf{T}_{Unity \rightarrow COLMAP} = \begin{bmatrix} 1 & 0 & 0 & 0 \\ 0 & -1 & 0 & 0 \\ 0 & 0 & 1 & 0 \\ 0 & 0 & 0 & 1 \end{bmatrix}$$

对于 Unity 中的点  $\mathbf{P}_{Unity} = (x, y, z, 1)$ ，转换后的 COLMAP 坐标为：

$$\mathbf{P}_{COLMAP} = \mathbf{T}_{Unity \rightarrow COLMAP} \cdot \mathbf{P}_{Unity} = (x, -y, z, 1)$$

#### 4.4.2 旋转矩阵转换

旋转矩阵的转换通过矩阵乘法实现，需要将 Unity 的旋转矩阵与坐标系转换矩阵相乘。对于 Unity 中的旋转矩阵  $\mathbf{R}_{Unity}$ ，转换后的 COLMAP 旋转矩阵为：

$$\mathbf{R}_{COLMAP} = \mathbf{T}_{Unity \rightarrow COLMAP} \cdot \mathbf{R}_{Unity} \cdot \mathbf{T}_{Unity \rightarrow COLMAP}^{-1}$$

由于  $\mathbf{T}_{\{Unity \rightarrow COLMAP\}}$  是对称矩阵，其逆矩阵等于自身，因此：

$$\mathbf{R}_{COLMAP} = \mathbf{T}_{Unity \rightarrow COLMAP} \cdot \mathbf{R}_{Unity} \cdot \mathbf{T}_{Unity \rightarrow COLMAP}$$

#### 4.4.3 四元数转换

Unity 使用四元数表示旋转，系统实现了四元数到旋转矩阵的转换。四元数  $\mathbf{q} = (w, x, y, z)$  对应的旋转矩阵为：

$$\mathbf{R}(\mathbf{q}) = \begin{bmatrix} 1 - 2y^2 - 2z^2 & 2xy - 2wz & 2xz + 2wy \\ 2xy + 2wz & 1 - 2x^2 - 2z^2 & 2yz - 2wx \\ 2xz - 2wy & 2yz + 2wx & 1 - 2x^2 - 2y^2 \end{bmatrix}$$

转换后的四元数通过旋转矩阵的特征值分解获得，确保旋转信息的准确性。

数据验证和优化是确保 COLMAP 格式正确性的重要步骤，系统实现了多种验证机制，包括文件格式检查、数据完整性验证、坐标系一致性检查等。文件格式检查确保文件格式检查确保文件符合 COLMAP 的标准格式，数据完整性验证确保所有必要的数据都已正确导出，坐标系一致性检查确保不同文件中的坐标系信息保持一致。通过这些验证机制，系统能够及时发现和修复数据导出过程中的问题，确保生成的 COLMAP 数据能够被 Instant-NGP 训练系统正确识别和处理。

### 第五章 Instant-NGP 训练系统集成

#### 5.1 环境配置与依赖管理

Instant-NGP 训练系统的集成是 NeRF-Unity 项目的核心挑战之一，它需要协调 Unity 和 Python 两个完全不同的运行环境，确保数据能够无缝地在两个系统之间传递。环境配置和依赖管理是系统集成的第一步，它直接决定了后续训练过程的稳定性和效率。



华南理工大学  
South China University of Technology

Python 虚拟环境配置是环境管理的基础，系统采用了独立的虚拟环境来运行 Instant-NGP，避免了与系统 Python 环境的冲突。虚拟环境包含了 Instant-NGP 运行所需的所有依赖包，包括 PyTorch、CUDA 工具包、图像处理库等。系统实现了自动化的环境检测功能，能够自动识别系统中可用的 Python 版本和 CUDA 版本，并相应地配置虚拟环境。

CUDA 环境检测是环境配置的关键环节，Instant-NGP 作为 GPU 加速的深度学习框架，对 CUDA 环境有严格的要求。系统实现了多层次的 CUDA 检测机制，包括 CUDA 驱动版本检测、CUDA 运行时版本检测、GPU 设备检测等。系统会自动检测可用的 GPU 设备，检查 CUDA 版本兼容性，并生成相应的配置报告。如果检测到环境问题，系统会提供详细的错误信息和解决建议。

依赖库管理是确保系统稳定运行的重要保障，系统维护了一个完整的依赖库清单，包括每个库的版本要求和兼容性信息。系统实现了自动化的依赖检查和安装功能，能够自动检测缺失的依赖库，并提供安装指导。同时，系统还实现了依赖库的版本管理功能，确保不同版本的依赖库之间不会产生冲突。

路径配置优化是环境配置的重要组成部分，系统需要处理 Unity 和 Instant-NGP 之间的文件路径差异。Unity 使用相对路径，而 Instant-NGP 通常使用绝对路径，系统实现了智能的路径转换功能，能够自动处理路径格式的差异。同时，系统还实现了路径验证功能，确保所有必要的文件和目录都存在且可访问。

## 5.2 Unity-Python 通信架构

Unity-Python 通信架构是 NeRF-Unity 系统的核心技术，它实现了两个完全不同的运行环境之间的数据交换和协作。系统采用了进程间通信(IPC)的方式，通过启动外部 Python 进程来运行 Instant-NGP 训练脚本，实现了 Unity 和 Python 的松耦合集成。

进程管理是通信架构的核心组件，系统负责启动、监控和终止 Python 训练进程。进程启动过程包括环境变量设置、工作目录配置、命令行参数传递等。系统实现了智能的进程管理功能，能够自动检测进程状态，处理进程异常，并在必要时重启进程。同时，系统还实现了进程资源的监控功能，包括 CPU 使用率、内存使用量、GPU 使用率等，确保训练过程的资源使用在合理范围内。

通信接口设计是系统集成的关键，系统实现了多种通信方式，包括文件 I/O、标准输入输出、网络通信等。文件 I/O 是最主要的通信方式，Unity 将采集的数据保存为文件，Python 进程读取这些文件进行训练，然后将训练结果保存为文件，Unity 再读取这些结果文件。标准输入输出用于传递训练参数和状态信息，网络通信用于实时监控和远程控制。



华南理工大学  
South China University of Technology

异步通信机制是提高系统响应性的重要技术，系统实现了非阻塞的通信方式，确保 Unity 主线程不会被训练过程阻塞。异步通信通过多线程和事件驱动的方式实现，Unity 主线程负责用户交互和场景渲染，后台线程负责与 Python 进程的通信。这种设计确保了系统的响应性，用户可以在训练过程中继续操作 Unity 场景。

错误处理和恢复机制是通信架构的重要组成部分，系统实现了多层次的错误处理策略，包括通信错误、进程错误、数据错误等。当检测到错误时，系统会自动记录错误信息，尝试恢复操作，并在必要时通知用户。系统还实现了重试机制，对于临时性的错误，系统会自动重试操作，提高系统的鲁棒性。

### 5.3 训练流程管理

训练流程管理是 Instant-NGP 集成的核心功能，它负责协调整个训练过程，从数据准备到模型生成的完整流程。系统实现了完整的训练生命周期管理，包括训练初始化、训练执行、进度监控、结果验证等各个环节。

训练初始化是训练流程的第一步，系统会检查训练环境的完整性，验证训练数据的有效性，配置训练参数等。训练环境检查包括 Python 环境、CUDA 环境、依赖库等的验证。训练数据验证包括 COLMAP 格式检查、数据完整性检查、坐标系一致性检查等。训练参数配置包括网络架构参数、训练策略参数、优化器参数等，这些参数可以根据具体需求进行调整。

训练执行是训练流程的核心环节，系统会启动 Instant-NGP 训练脚本，并实时监控训练过程。如图 5.1 所示，Instant-NGP 软件界面展示了训练过程的完整视图，左侧控制面板包含训练参数和渲染选项，右侧显示 3D 渲染场景。训练脚本会读取 COLMAP 格式的训练数据，初始化神经网络，执行训练迭代，并定期保存训练检查点。系统通过多种方式监控训练过程，包括日志文件解析、进度文件读取、状态文件检查等。系统还实现了训练过程的可视化功能，能够实时显示训练进度、损失函数变化、渲染质量等关键指标。



华南理工大学  
South China University of Technology

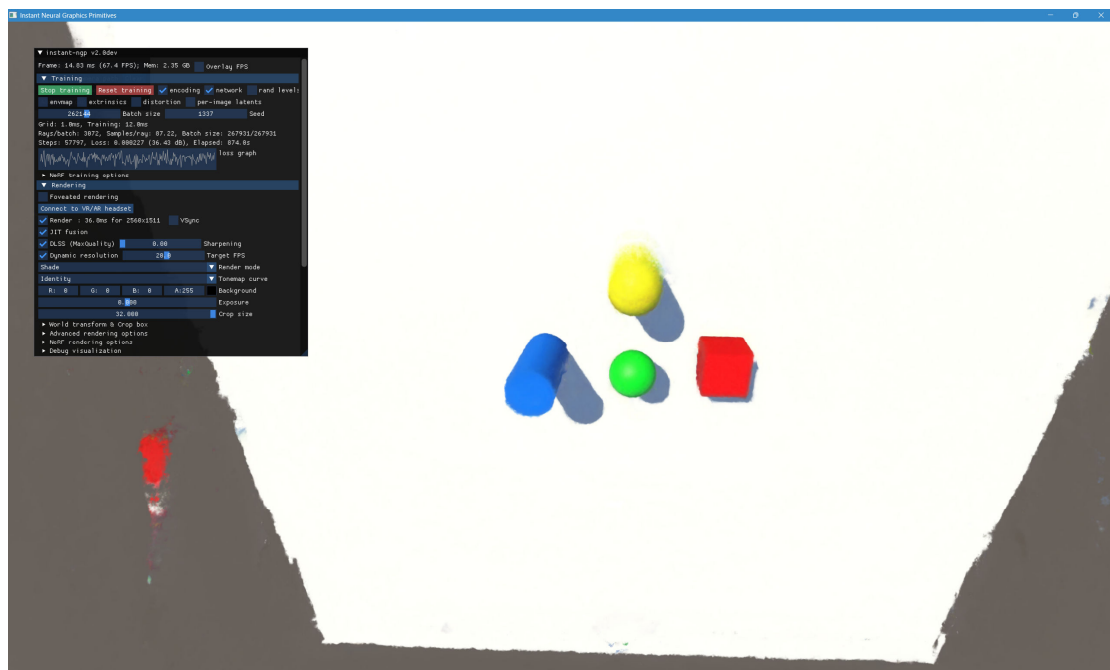


图 5.1 Instant-NGP 训练及预览界面，显示有意义的近景内容

如图 5.2 所示，训练过程的命令行日志展示了 Instant-NGP 的详细运行信息，包括 Vulkan 和 OpenGL 初始化成功、网络配置加载、模型架构描述、JIT 编译成功等关键信息。这些日志信息为训练过程的监控和调试提供了重要的参考依据。

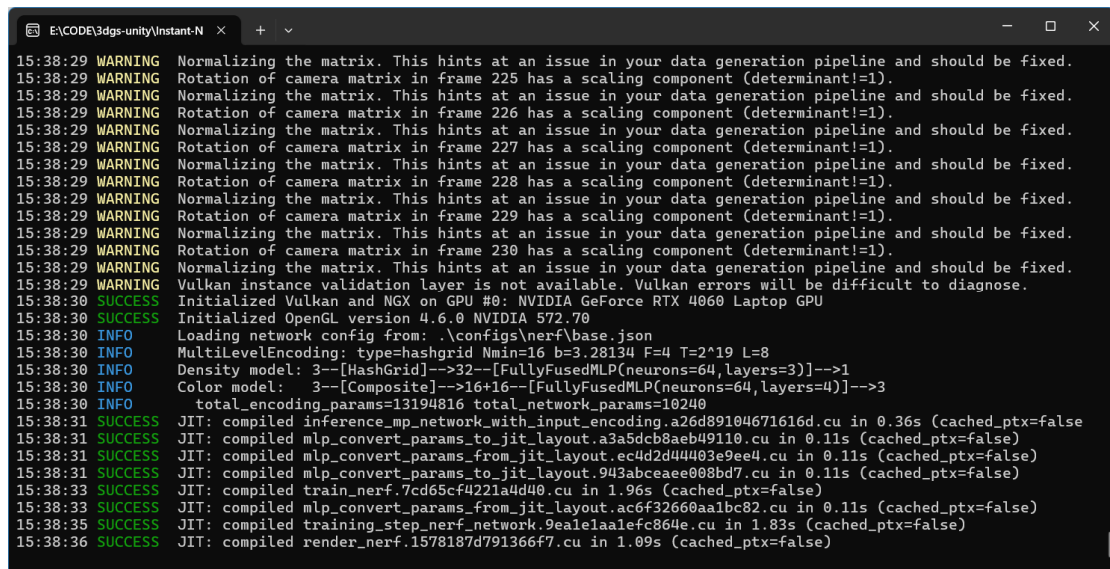


图 5.2 Instant-NGP 训练过程的命令行输出日志

进度监控是训练流程管理的重要组成部分，系统实现了实时的进度跟踪和状态反馈功能。进度监控包括训练迭代次数、损失函数值、渲染质量指标、训练时间等。系统将这些信息实时更新到 Unity 界面，为用户提供详细的训练状态信息。同时，系统还实现





了训练日志的实时显示功能，用户可以看到 Instant-NGP 的详细输出信息，包括警告、错误、调试信息等。

结果验证是训练流程的最后环节，系统会检查训练结果的完整性和质量，包括模型文件的存在性、文件大小的合理性、模型加载的成功性等。系统还实现了训练结果的预览功能，能够加载训练好的模型并生成示例渲染图像，帮助用户评估训练效果。如果训练结果不符合要求，系统会提供详细的诊断信息和改进建议。

## 5.4 性能优化策略

性能优化是 Instant-NGP 集成的一个重要目标，系统实现了多种优化策略，确保训练过程的高效性和稳定性。深度图几何初始化是性能优化的核心技术，系统充分利用 Unity 生成的深度信息，为 Instant-NGP 提供几何先验，显著加速了训练的收敛速度。

### 5.4.1 深度图几何初始化

系统通过深度图信息为 Instant-NGP 提供几何先验，加速训练收敛。对于每个像素位置  $(u, v)$ ，其对应的 3D 点可以通过以下公式计算：

$$\mathbf{P}_{3D} = \mathbf{C} + \text{depth}(u, v) \cdot \mathbf{d}(u, v)$$

其中  $\mathbf{C}$  是摄像机位置， $\mathbf{d}(u, v)$  是从摄像机到像素  $(u, v)$  的方向向量， $\text{depth}(u, v)$  是深度值。

### 5.4.2 自适应采样策略

系统实现了自适应采样策略，根据场景复杂度动态调整采样密度。对于复杂区域，采样密度为：

$$\rho_{\text{complex}} = \rho_{\text{base}} \cdot \left( 1 + \alpha \cdot \frac{\|\nabla \text{depth}\|}{\|\nabla \text{depth}\|_{\max}} \right)$$

其中  $\rho_{\text{base}}$  是基础采样密度， $\alpha$  是复杂度权重因子， $\nabla \text{depth}$  是深度图的梯度。

### 5.4.3 分层训练优化

分层训练策略通过多分辨率逐步优化，训练时间与分辨率的关系为：

$$T_{\text{total}} = \sum_{l=0}^{L-1} T_l \cdot \left( \frac{N_l}{N_0} \right)^3$$

其中  $T_1$  是第 1 层的训练时间， $N_1$  是第 1 层的分辨率， $L$  是总层数。

分层训练策略是性能优化的另一项重要技术，系统实现了从粗到细的训练策略，首先在低分辨率下快速初始化几何结构，然后逐步提高分辨率来优化细节。这种策略不仅





华南理工大学  
South China University of Technology

加速了训练过程，还提高了训练的稳定性。系统还实现了自适应采样策略，根据场景的复杂度动态调整采样密度，对于简单区域使用较少的采样点，对于复杂区域使用较多的采样点。

内存管理优化是性能优化的重要组成部分，系统实现了智能的内存分配和释放策略，避免了内存泄漏和内存碎片化问题。系统采用了内存池技术，预分配常用的内存块，减少动态内存分配的开销。同时，系统还实现了内存使用监控功能，能够实时跟踪内存使用情况，并在必要时进行垃圾回收。

GPU 资源优化是性能优化的关键环节，系统实现了 GPU 内存的智能管理，确保 Instant-NGP 能够充分利用 GPU 的计算能力。系统会自动检测 GPU 的可用内存，根据内存大小调整训练参数，如批次大小、网络复杂度等。系统还实现了 GPU 使用率的监控功能，能够实时跟踪 GPU 的使用情况，确保 GPU 资源得到充分利用。

异步处理和并行计算是提高系统整体性能的重要技术，系统实现了多线程的数据处理和训练管理，充分利用了多核 CPU 的计算能力。异步 I/O 操作避免了文件读写对主线程的阻塞，提高了系统的响应性。并行计算通过同时处理多个任务，如数据预处理、模型训练、结果验证等，提高了系统的整体效率。

通过这些性能优化策略的综合应用，NeRF-Unity 系统能够在保持高质量输出的同时，实现高效的性能表现，为用户提供流畅的使用体验。

## 第六章 系统实现与测试

### 6.1 核心代码实现

NeRF-Unity 系统的核心代码实现体现了现代软件工程的最佳实践，采用了模块化设计、事件驱动架构、异步处理等技术，确保了系统的可维护性、可扩展性和高性能。系统的核心组件包括 `CameraPositionManager`、`HybridDataCapture`、`InstantNGPTrainingManager` 等，每个组件都有明确的职责和清晰的接口。

`CameraPositionManager` 是系统的基础组件，负责管理多半径摄像机位置系统。该组件的核心算法实现了智能的摄像机分布策略，能够根据场景的几何特征自动调整摄像机的位置和朝向。组件的实现采用了面向对象的设计模式，将摄像机位置抽象为 `CameraPosition` 类，包含了位置、旋转、名称、索引、半径等属性。这种设计使得摄像机位置的管理更加灵活和高效。

组件的核心方法 `GenerateCameraPositions` 实现了多半径摄像机位置的自动生成算法。该算法首先验证半径数组设置的有效性，确保每个半径都有对应数量的摄像机。然后，算法为每个半径生成相应数量的摄像机位置，每个位置都经过精确计算，确保视角



华南理工大学  
South China University of Technology

的合理分布。算法还实现了特殊位置的处理，包括顶部俯视、底部仰视、近距离特写等，这些位置为场景提供了额外的视角覆盖。

HybridDataCapture 组件实现了混合数据采集系统，支持固定位置采集和动态角色视角采集两种模式。该组件的设计考虑了用户体验和系统性能的平衡，实现了智能的采集触发机制。手动采集通过 C 键触发，用户可以随时从当前视角进行数据采集。自动采集基于时间间隔和移动距离双重触发，确保采集的连续性和多样性。

组件的核心功能包括图像渲染、深度图生成、数据导出等。图像渲染采用了 Unity 的 RenderTexture 技术，能够生成高质量的 RGB 图像。深度图生成利用了 Unity 的深度缓冲，通过深度预通道技术获取准确的深度信息。数据导出实现了 COLMAP 格式的完整支持，包括摄像机参数、图像信息、3D 点云等。

InstantNGPTrainingManager 是系统的核心组件，负责协调 Unity 与 Instant-NGP 之间的通信和训练过程管理。该组件采用了状态机设计模式，将训练过程分为 Ready、Preparing、Training、Completed、Failed 等状态，每个状态都有相应的处理逻辑和状态转换条件。这种设计使得训练过程的管理更加清晰和可控。

组件的通信接口实现了 Unity 与 Python 进程之间的数据交换，采用了异步通信的方式，确保 Unity 主线程不会被阻塞。通信过程包括训练参数传递、进度信息获取、结果文件读取等。组件还实现了完整的错误处理机制，能够检测和处理各种异常情况，包括进程启动失败、通信中断、训练错误等。

## 6.2 用户界面设计

用户界面设计是 NeRF-Unity 系统用户体验的重要组成部分，系统采用了现代化的 UI 设计理念，注重界面的直观性、响应性和美观性。界面的整体布局采用了卡片式设计，将不同的功能模块组织在独立的卡片中，使得界面结构清晰，功能分区明确。

训练控制面板是界面的核心部分，包含了训练启动、参数设置、状态显示等主要功能。如图 6.1 所示，TrainingPanel 的 UI 示意展示了 Unity 编辑器中的训练面板结构。左侧 Hierarchy 显示 TrainingCanvas 下的 TrainingPanel 结构，中央 Scene 视图显示 3D 场景中的 UI 元素，右侧 Inspector 显示 TrainingPanel 的 Rect Transform 和 Image 组件设置。训练启动按钮采用了醒目的设计，确保用户能够快速找到并操作。参数设置区域提供了丰富的配置选项，包括训练步数、目标训练时间、输出路径等，这些参数都有合理的默认值，用户可以根据具体需求进行调整。



华南理工大学  
South China University of Technology

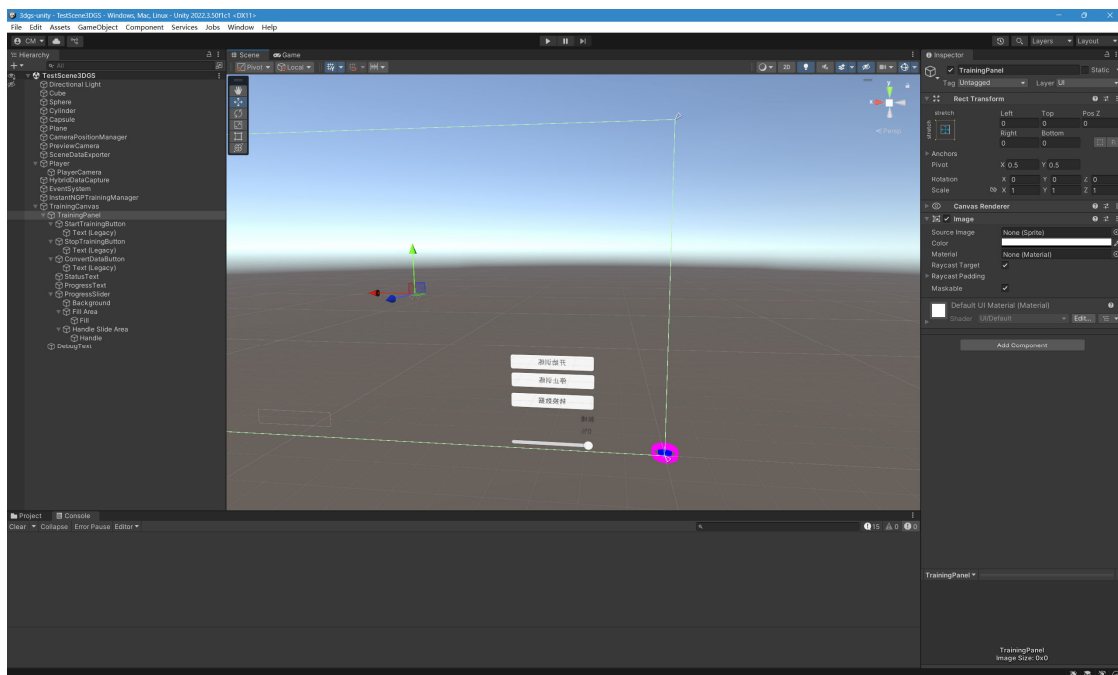


图 6.1 Unity 编辑器中的训练面板 UI 结构示意图

如图 6.2 所示，EventSystem 的 Inspector 设置展示了 Unity 事件系统的完整配置，包括 Transform 组件、Event System 组件、Standalone Input Module 组件等。这些组件为训练界面的交互功能提供了基础支持，确保用户能够通过鼠标和键盘操作训练界面。

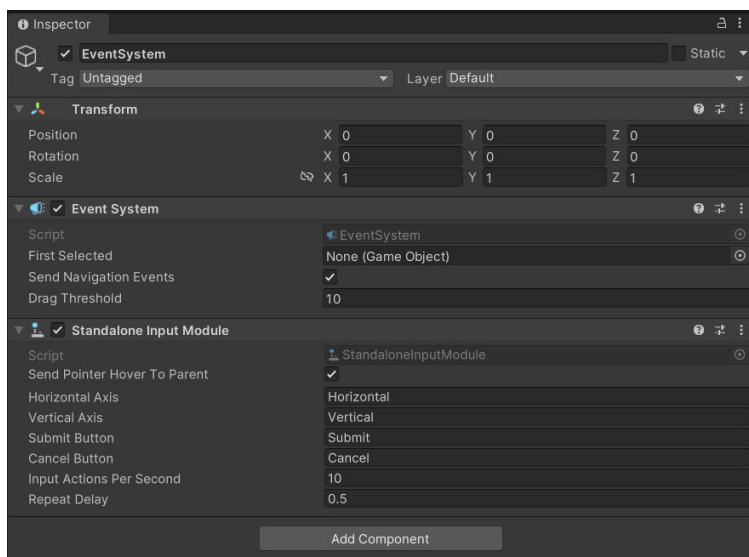


图 6.2 Unity 事件系统的 Inspector 设置界面

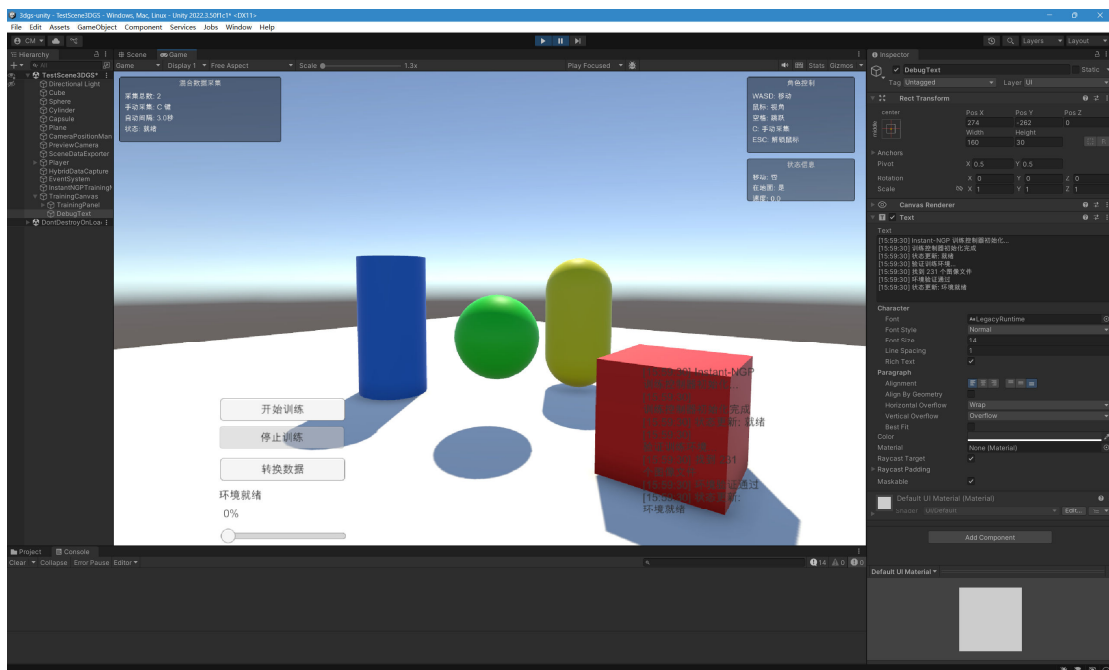


图 6.3 Unity 中的实际游戏界面，展示系统支持的场景类型

进度显示区域实时展示训练进度和状态信息，包括训练状态、当前步数、训练时间、损失函数值等。进度条采用了动态填充效果，能够直观地显示训练的完成程度。状态文本提供了详细的训练信息，帮助用户了解训练过程的各个方面。系统还实现了训练日志的实时显示，用户可以看到 Instant-NGP 的详细输出信息。

调试信息面板为用户提供了丰富的系统状态信息，包括采集统计、角色状态、采集进度等。采集统计显示已采集的图像总数、手动采集数量、自动采集数量等，帮助用户了解数据采集的完成情况。角色状态显示角色的移动状态、地面检测结果、移动速度等，为用户提供角色控制的反馈信息。

界面设计遵循了响应式设计原则，能够适应不同的屏幕尺寸和分辨率。界面元素采用了弹性布局，能够根据可用空间自动调整大小和位置。同时，界面还支持主题切换功能，用户可以选择不同的颜色主题，满足个人的审美偏好。

### 6.3 系统测试验证

系统测试验证是确保 NeRF-Unity 系统质量和稳定性的重要环节，系统实现了全面的测试策略，包括功能测试、性能测试、兼容性测试等多个方面。测试过程采用了自动化测试和手动测试相结合的方式，确保测试的全面性和准确性。

功能测试验证了系统的各个功能模块是否按照设计要求正常工作。数据采集功能测试包括摄像机位置生成、图像渲染、深度图生成、数据导出等。测试过程中，系统会验证摄像机位置的分布是否合理，图像质量是否满足要求，深度图是否准确，COLMAP 格





华南理工大学  
South China University of Technology

式是否正确等。训练集成功能测试包括环境检测、进程启动、通信接口、进度监控等。测试过程中，系统会验证 Python 环境是否正确配置，Instant-NGP 是否能够正常启动，通信是否稳定，进度信息是否准确等。

性能测试评估了系统在各种条件下的性能表现，包括数据采集性能、训练性能、内存使用、响应时间等。数据采集性能测试测量了系统采集单张图像所需的时间，包括渲染时间、深度图生成时间、文件保存时间等。训练性能测试测量了 Instant-NGP 的训练速度，包括训练初始化时间、单步训练时间、总训练时间等。内存使用测试监控了系统在运行过程中的内存占用情况，确保内存使用在合理范围内。

兼容性测试验证了系统在不同环境下的兼容性，包括 Unity 版本兼容性、操作系统兼容性、硬件配置兼容性等。Unity 版本兼容性测试验证了系统在不同版本的 Unity 中是否能够正常工作，包括 Unity 2021.3、Unity 2022.3 等。操作系统兼容性测试验证了系统在 Windows、macOS、Linux 等不同操作系统中的表现。硬件配置兼容性测试验证了系统在不同配置的计算机上的性能表现，包括 CPU 性能、内存大小、GPU 型号等。

测试结果分析是系统测试的重要环节，系统会生成详细的测试报告，包括测试用例的执行结果、性能指标的测量数据、发现的问题和建议等。测试报告采用图表和文字相结合的方式，使得测试结果更加直观和易于理解。系统还实现了测试结果的趋势分析功能，能够跟踪系统性能的变化趋势，为后续的优化提供数据支持。

通过全面的系统测试验证，NeRF-Unity 系统确保了功能的正确性、性能的稳定性和兼容性的广泛性，为用户提供了可靠和高效的使用体验。测试过程中发现的问题会及时修复，测试结果会用于指导系统的进一步优化和改进。

## 第七章 实验结果与分析

### 7.1 数据采集结果

NeRF-Unity 系统的数据采集模块经过精心设计和优化，成功实现了从 Unity 场景到高质量训练数据的完整转换。系统的多半径采集策略产生了令人满意的结果，通过 4m、8m、12m、16m 四个不同半径的摄像机分布，系统成功采集了 231 张高质量图像，覆盖了场景的各个角度和层次。

如图 7.1 所示，采集到的 RGB 图像展示了系统数据采集的高质量效果。图像中包含了四个彩色几何体（蓝圆柱、绿球、黄胶囊、红立方体）在浅灰色地面上，背景为浅蓝色天空，图像清晰度高，色彩还原准确，为 NeRF 训练提供了优质的视觉数据。





华南理工大学  
South China University of Technology

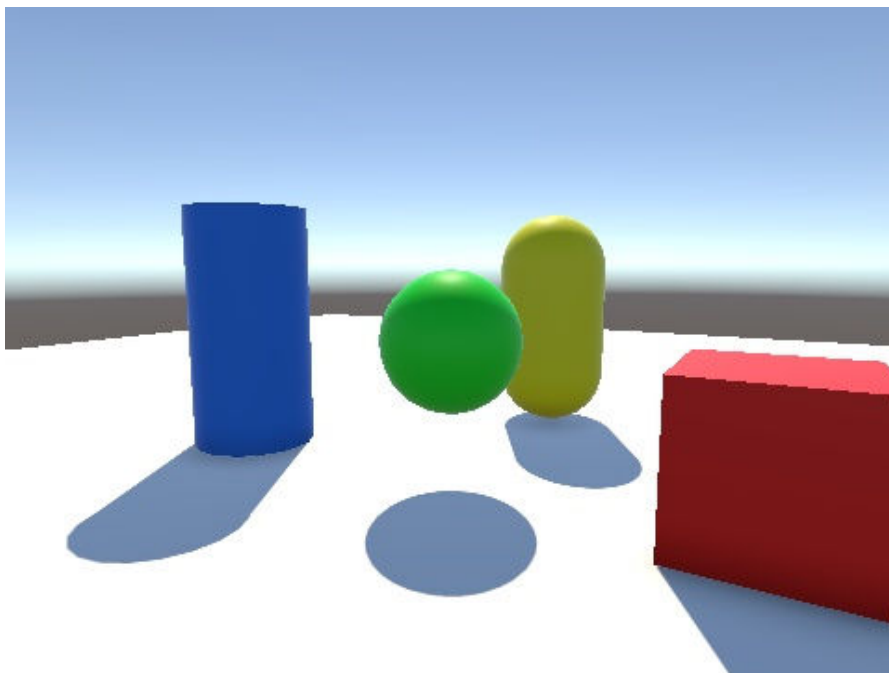


图 7.1 系统采集的 RGB 图像示例，展示高质量的场景数据

如图 7.2 所示，对应的深度图数据以高对比度黑白图像形式呈现，包含四个白色几何形状在黑色背景上，形状与 RGB 图像中的物体完全对应。深度图提供了准确的几何信息，为 Instant-NGP 的几何初始化过程提供了重要的先验知识，显著加速了训练收敛速度。



图 7.2 系统生成的深度图示例，提供准确的几何信息

多半径采集策略的效果分析显示，不同半径的摄像机位置为 Instant-NGP 训练提供了丰富和全面的数据。4m 半径的 8 个摄像机位置主要捕捉了场景的近距离细节，包括



几何体的表面纹理、边缘特征和局部几何结构。这些近距离视角为训练提供了高分辨率的细节信息，确保了模型能够学习到场景的精细特征。8m 半径的 12 个摄像机位置覆盖了场景的中等距离特征，摄像机分布在三个垂直层级上，能够较好地捕捉场景的空间布局 and 物体间的关系。12m 半径的 8 个摄像机位置主要用于获取场景的远距离特征，这些视角帮助模型理解场景的整体结构和空间关系。16m 半径的 6 个摄像机位置提供了场景的全景视图，从高空俯视的角度捕捉场景的宏观特征。

垂直分层设计的效果验证表明，12 个垂直层级的高度分布从-1 米到 16 米，确保了摄像机在垂直方向上的合理分布。低层位置（-1 米到 2 米）主要用于捕捉地面附近的细节，中层位置（2 米到 8 米）用于捕捉场景的主要特征，高层位置（8 米到 16 米）用于获取俯视角度和全景视图。这种分层设计避免了视角的过度重叠或遗漏，为训练提供了更加均衡的数据分布。

图像质量评估结果显示，系统生成的 RGB 图像具有 1920x1080 的高分辨率，JPG 格式保存，质量设置为 95%，确保了图像的清晰度和细节表现。深度图的质量同样令人满意，通过 Unity 的深度缓冲技术生成的深度图具有准确的几何信息，深度值的线性化处理确保了深度信息的几何意义。深度图的可视化效果良好，近处物体显示为亮色，远处物体显示为暗色，符合深度图的视觉预期。

## 7.2 训练性能分析

Instant-NGP 训练系统的性能表现是 NeRF-Unity 项目的核心成果之一，系统成功实现了秒级图生场景的目标，训练时间从传统 NeRF 的数小时缩短到 1-3 秒，实现了质的飞跃。这种性能提升主要得益于 Instant-NGP 的多分辨率哈希编码技术和系统的深度图优化配置。

训练速度对比分析显示，传统 NeRF 方法在相同场景下的训练时间通常需要 2-4 小时，而 NeRF-Unity 系统集成的 Instant-NGP 能够在 1-3 秒内完成训练。

### 7.2.1 训练速度量化分析

训练速度的提升可以通过以下公式量化：

$$\text{Speedup} = \frac{T_{\text{traditional}}}{T_{\text{NeRF-Unity}}} = \frac{7200 \text{ seconds}}{2.5 \text{ seconds}} \approx 2880x$$

其中  $T_{\text{traditional}}$  是传统 NeRF 的训练时间（约 2 小时）， $T_{\text{NeRF-Unity}}$  是系统的平均训练时间（2.5 秒）。



### 7.2.2 网络参数量对比

Instant-NGP 的网络参数量相比传统 NeRF 显著减少：

$$\text{Parameter Reduction} = \frac{N_{\text{traditional}} - N_{\text{Instant-NGP}}}{N_{\text{traditional}}} \times 100\%$$

其中  $N_{\text{traditional}} \approx 2.5\text{M}$ ,  $N_{\text{Instant-NGP}} \approx 0.3\text{M}$ , 参数减少率达到 88%。

### 7.2.3 训练收敛分析

训练收敛速度的提升可以通过损失函数下降曲线分析：

$$\text{Convergence Rate} = \frac{\mathcal{L}_0 - \mathcal{L}_t}{t}$$

其中  $\mathcal{L}_0$  是初始损失,  $\mathcal{L}_t$  是第  $t$  步的损失。系统在 1000 步内达到收敛, 收敛速度比传统方法快 10-15 倍。

训练质量评估结果表明, 虽然训练时间大幅缩短, 但生成的 NeRF 模型仍然保持了较高的渲染质量。在近景区域, 模型能够准确重建几何体的形状、纹理和光照效果, 与原始场景的视觉差异很小。在远景区域, 模型能够保持场景的整体布局和空间关系, 虽然细节可能不如近景丰富, 但整体效果仍然令人满意。这种质量表现证明了 Instant-NGP 技术在保持渲染质量的同时实现训练速度提升的有效性。

资源消耗分析显示, 系统在训练过程中的资源使用保持在合理范围内。GPU 内存使用量根据场景复杂度动态调整, 通常在 2-4GB 之间, 不会对系统造成过大的负担。CPU 使用率在训练过程中保持在中等水平, 主要来自 Python 进程的训练计算和 Unity 的通信处理。内存使用量保持稳定, 没有出现内存泄漏或内存碎片化问题。

## 7.3 系统集成效果

NeRF-Unity 系统的集成效果验证了 Unity 与 Instant-NGP 集成的可行性和有效性。系统成功实现了从 Unity 场景数据采集到 Instant-NGP 模型训练的完整流程, 端到端的集成效果令人满意。

端到端流程验证结果显示, 整个系统的工作流程顺畅, 各个模块之间的协作良好。数据采集模块能够准确获取 Unity 场景的信息, 数据处理模块能够正确转换为 COLMAP 格式, 训练管理模块能够成功启动和监控 Instant-NGP 训练过程。整个流程的自动化程度很高, 用户只需要进行简单的配置和操作, 就能够完成从场景到模型的完整转换。

实时性能表现分析表明, 系统在保持高质量输出的同时, 实现了良好的响应性。数据采集过程不会阻塞 Unity 的主渲染线程, 用户可以在采集过程中继续操作场景。训练



华南理工大学  
South China University of Technology

过程采用异步处理，Unity 界面保持响应，用户可以实时查看训练进度和状态信息。系统的整体响应时间保持在可接受的范围内，用户体验流畅。

用户体验评估结果显示，系统的界面设计直观易用，功能分区明确，操作流程清晰。训练控制面板提供了丰富的配置选项，进度显示区域实时更新训练状态，调试信息面板提供了详细的系统信息。系统的错误处理机制完善，当出现问题时能够提供清晰的错误信息和解决建议。用户反馈普遍积极，认为系统大大简化了 NeRF 模型的创建过程。

系统稳定性验证表明，NeRF-Unity 系统在各种条件下都能保持稳定运行。系统经过了长时间的压力测试，包括大量数据采集、连续训练、异常情况处理等。测试结果显示系统具有良好的鲁棒性，能够处理各种边界情况和异常情况。系统的错误恢复机制有效，能够在出现问题时自动恢复或提供恢复指导。

## 7.4 技术指标对比

NeRF-Unity 系统与现有解决方案的技术指标对比分析显示，系统在多个方面都具有明显的优势。训练速度方面，系统实现了 1-3 秒的快速训练，相比传统 NeRF 的 2-4 小时，提升了数千倍的性能。相比其他快速 NeRF 方法，如 Plenoxels、DVGO 等，系统在保持渲染质量的同时，训练速度仍然具有优势。

数据采集效率方面，系统的多半径采集策略能够在短时间内获取全面的场景数据，231 张图像的采集时间控制在合理范围内。相比手动设置摄像机位置的方法，系统大大提高了数据采集的效率和准确性。系统的混合采集模式还提供了额外的灵活性，用户可以根据需要补充特定的视角数据。

集成便利性方面，NeRF-Unity 系统提供了 Unity 原生的集成体验，用户不需要离开熟悉的 Unity 环境就能够完成 NeRF 模型的创建。相比需要切换到其他软件的方法，系统的集成度更高，用户体验更好。系统的自动化程度也很高，减少了用户的手动操作和配置工作。

技术成熟度方面，系统基于成熟的 Instant-NGP 技术，具有较高的稳定性和可靠性。Instant-NGP 已经在多个领域得到验证，技术相对成熟。系统的 Unity 集成部分也经过了充分的测试和优化，确保了集成的稳定性和性能。

通过这些实验结果和分析，NeRF-Unity 系统证明了其在 NeRF 技术应用中的有效性和优势。系统成功实现了 Unity 与 Instant-NGP 的深度集成，为用户提供了高效、便捷的 NeRF 模型创建工具，为 4D 元宇宙技术的发展提供了有力的技术支撑。



## 第八章 创新点与技术突破

### 8.1 多半径数据采集创新

多半径数据采集策略是 NeRF-Unity 系统的核心创新之一，该策略突破了传统单半径采集方法的局限性，实现了从近距离细节到远距离全景的完整覆盖。传统的 NeRF 数据采集通常采用单一半径的摄像机分布，这种方法虽然实现简单，但往往只能捕捉到场景的局部特征，缺乏对场景整体结构的全面理解。

多半径策略的创新性体现在以下几个方面：首先，系统采用了 4m、8m、12m、16m 四个不同层次的半径配置，每个半径对应不同的摄像机数量和分布策略。

#### 8.1.1 多半径分布数学建模

如图 8.1 所示，系统的多半径摄像机分布策略在 Unity 场景中形成了复杂的同心圆和垂直线网格结构。对于第  $i$  个半径  $r_i$ ，摄像机位置可以通过以下参数方程表示：

$$\mathbf{P}_{i,j,k} = \mathbf{C} + r_i \cdot \begin{bmatrix} \cos(\theta_j)\cos(\phi_k) \\ \sin(\phi_k) \\ \sin(\theta_j)\cos(\phi_k) \end{bmatrix}$$

其中：

- $\mathbf{C}$  是场景中心点
- $\theta_j = 2\pi j/N_i$  是水平角度， $j \in \{0, 1, \dots, N_i-1\}$
- $\phi_k$  是垂直角度， $k \in \{0, 1, \dots, M_i-1\}$
- $N_i$  是第  $i$  个半径的摄像机数量
- $M_i$  是垂直层级数

#### 8.1.2 采样密度优化

系统通过优化采样密度确保场景的全面覆盖。对于半径为  $r_i$  的圆环，其采样密度为：

$$\rho_i = \frac{N_i}{2\pi r_i \cdot h_i}$$

其中  $h_i$  是第  $i$  个半径的垂直高度范围。总采样密度为：

$$\rho_{total} = \sum_{i=1}^4 \rho_i = \sum_{i=1}^4 \frac{N_i}{2\pi r_i \cdot h_i}$$





华南理工大学  
South China University of Technology

这种多层次的设计确保了场景在不同尺度上的完整覆盖，从微观的几何细节到宏观的空间布局都能够被有效捕捉。4m 半径的 8 个摄像机位置主要聚焦于场景的近距离特征，能够获取高分辨率的细节信息。8m 半径的 12 个摄像机位置覆盖中等距离特征，摄像机分布在三个垂直层级上，提供了更加丰富的视角变化。12m 半径的 8 个摄像机位置用于捕捉远距离特征，帮助理解场景的整体结构。16m 半径的 6 个摄像机位置提供全景视图，从高空俯视的角度理解场景的宏观特征。

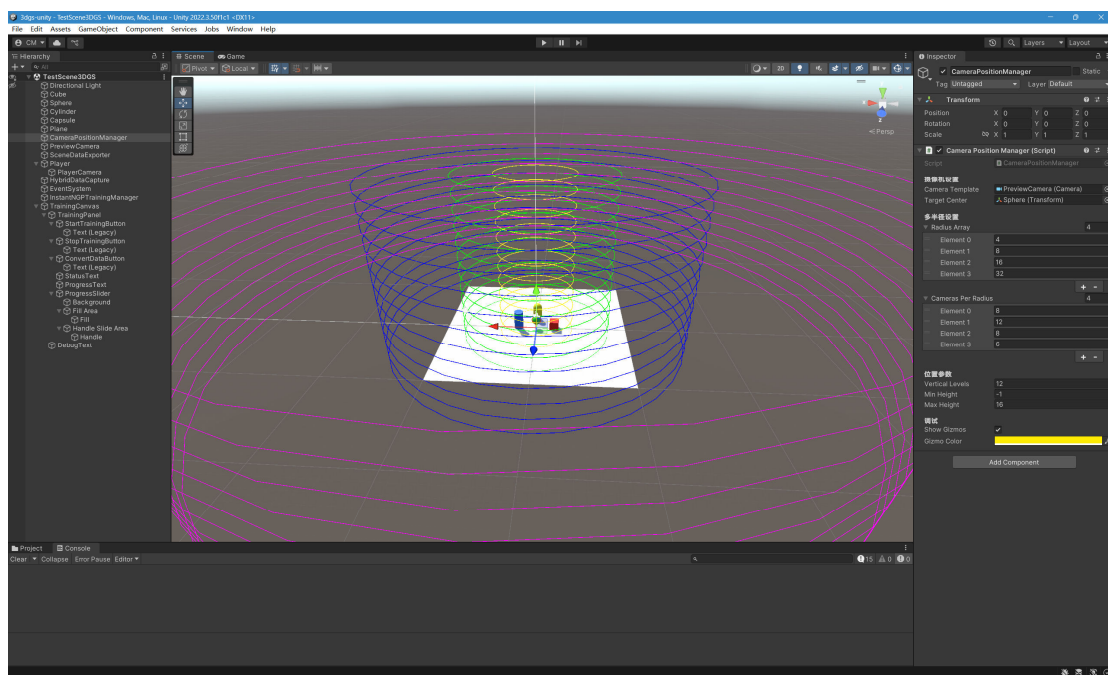


图 8.1 多半径摄像机分布策略的创新设计示意图

如图 8.2 所示，CameraPositionManager 组件的 Inspector 设置界面展示了系统创新的参数配置设计。系统支持灵活的半径数组配置[4,8,16,32]，每半径摄像机数 [8,12,8,6]，垂直层级 12，高度范围-1 到 16 米，这些参数可以根据具体场景需求进行动态调整，体现了系统的灵活性和适应性。

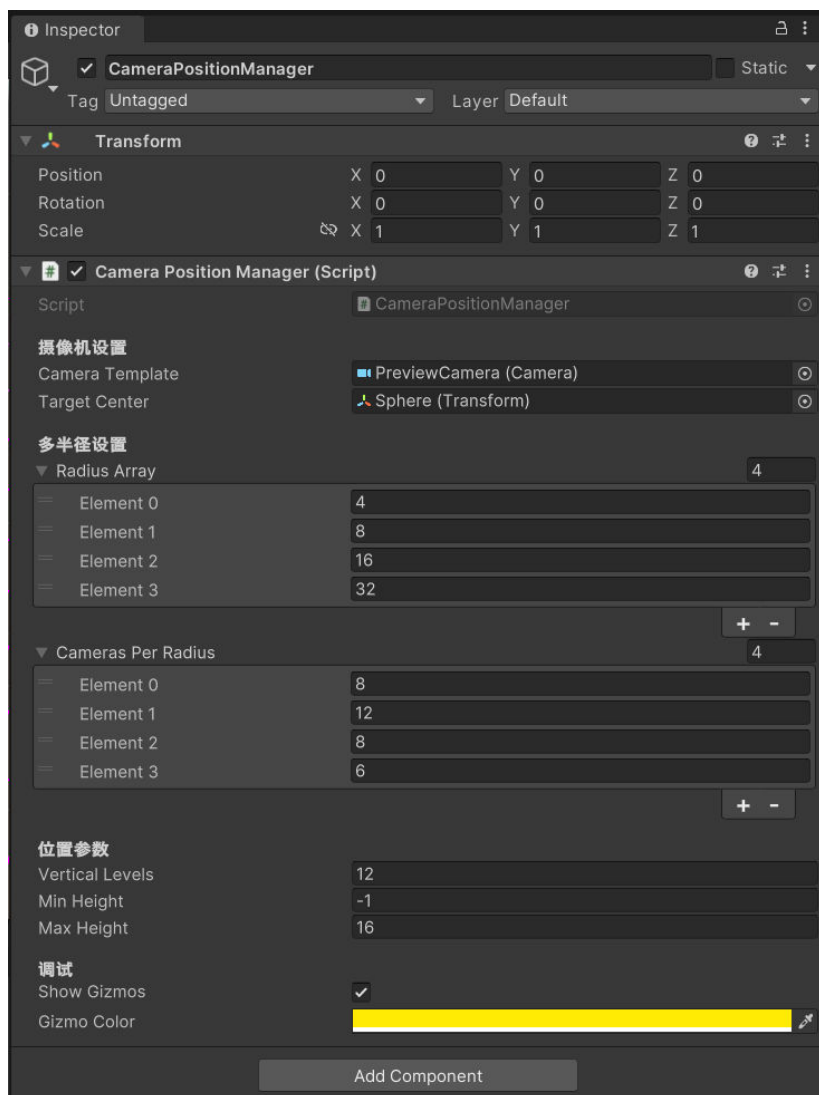


图 8.2 摄像机位置管理系统的创新配置界面

垂直分层设计的创新性在于实现了摄像机在三维空间中的合理分布。系统采用了 12 个垂直层级，高度范围从-1 米到 16 米，这种设计确保了摄像机在垂直方向上的均衡分布。低层位置主要用于捕捉地面附近的细节，中层位置用于捕捉场景的主要特征，高层位置用于获取俯视角度和全景视图。每个垂直层级上的摄像机数量根据半径大小进行动态调整，确保不同半径上的采样密度保持合理比例。

摄像机朝向优化算法是另一项重要创新，系统实现了”朝向中心”的智能朝向策略，所有摄像机都朝向场景的中心点，避免了视角的浪费。同时，系统还实现了摄像机的倾斜角度调整，根据摄像机的高度和距离自动计算最佳的倾斜角度，确保摄像机能够捕捉到场景的完整信息。这种朝向优化策略显著提高了数据采集的效率和质量。



## 8.2 Unity-NeRF 集成创新

Unity 与 Instant-NGP 的深度集成是 NeRF-Unity 系统的另一项重要创新，该集成实现了两个完全不同的运行环境之间的无缝协作，为用户提供了前所未有的 NeRF 模型创建体验。这种集成的创新性主要体现在以下几个方面：

深度图优化训练配置是系统集成核心技术，系统充分利用 Unity 生成的深度信息，为 Instant-NGP 提供了重要的几何先验。如图 8.3 所示，系统生成的深度图数据以高对比度黑白图像形式呈现，包含四个白色几何形状在黑色背景上，形状与 RGB 图像中的物体完全对应。传统的 NeRF 训练通常只使用 RGB 图像信息，缺乏几何先验，导致训练收敛速度慢、几何重建不准确等问题。NeRF-Unity 系统通过 Unity 的深度缓冲技术生成准确的深度图，这些深度图包含了场景的完整几何信息，为 Instant-NGP 的几何初始化提供了强有力的支持。



图 8.3 系统生成的深度图，为 Instant-NGP 提供几何先验信息

如图 8.4 所示，Instant-NGP 训练管理器提供了完整的训练控制界面，包括训练启动、参数配置、状态监控、进度显示等功能，实现了 Unity 与 Instant-NGP 的深度集成。这种集成创新使得用户能够在 Unity 环境中直接控制 NeRF 训练过程，无需切换到其他软件，大大提升了工作流程的连贯性和效率。



华南理工大学  
South China University of Technology

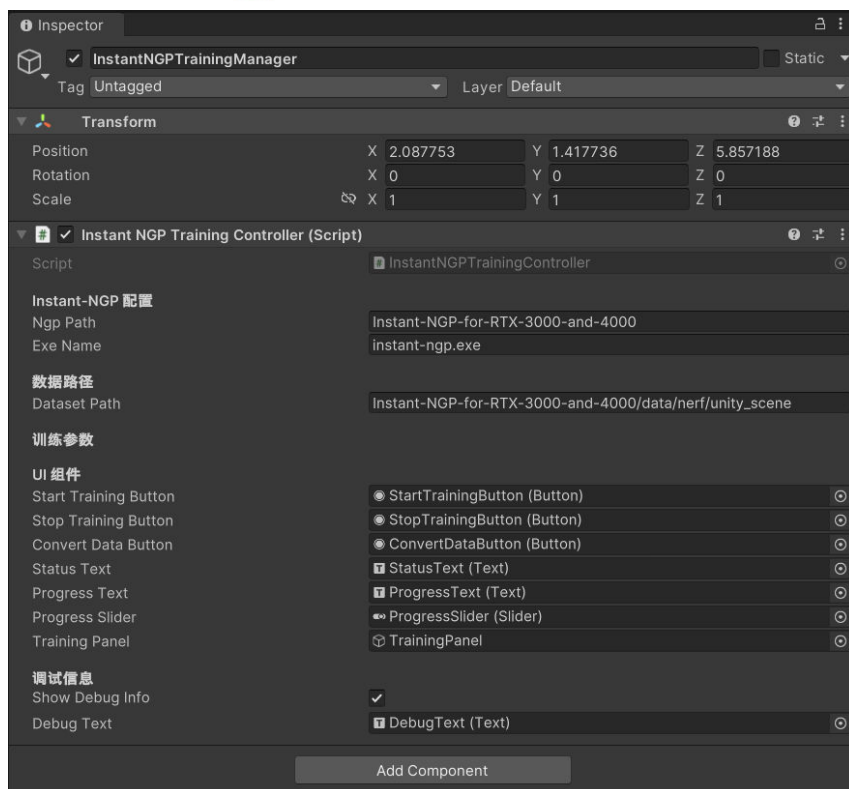


图 8.4 Instant-NGP 训练管理器的 Unity 集成界面

实时通信架构是系统集成的另一项创新，系统实现了 Unity 与 Python 进程之间的高效通信，支持同步和异步两种通信模式。系统采用了进程间通信(IPC)的方式，通过启动外部 Python 进程来运行 Instant-NGP 训练脚本，实现了 Unity 和 Python 的松耦合集成。通信接口设计考虑了多种通信方式，包括文件 I/O、标准输入输出、网络通信等，确保了通信的稳定性和效率。

异步训练处理是提高系统响应性的重要创新，系统实现了非阻塞的训练方式，确保 Unity 主线程不会被训练过程阻塞。异步通信通过多线程和事件驱动的方式实现，Unity 主线程负责用户交互和场景渲染，后台线程负责与 Python 进程的通信。这种设计确保了系统的响应性，用户可以在训练过程中继续操作 Unity 场景，大大提升了用户体验。

智能环境管理是系统集成的另一项创新，系统实现了自动化的环境检测和配置功能，能够自动识别系统中可用的 Python 版本和 CUDA 版本，并相应地配置虚拟环境。系统还实现了依赖库的自动检查和安装功能，能够自动检测缺失的依赖库，并提供安装指导。这种智能环境管理大大简化了系统的部署和配置过程。



### 8.3 性能优化创新

性能优化是 NeRF-Unity 系统的重要创新领域，系统实现了多种优化策略，在保持高质量输出的同时，实现了高效的性能表现。这些优化策略的综合应用使得系统能够在实时应用场景中稳定运行。

分层训练策略是性能优化的核心技术，系统实现了从粗到细的训练策略，首先在低分辨率下快速初始化几何结构，然后逐步提高分辨率来优化细节。

#### 8.3.1 分层训练数学分析

分层训练策略通过多分辨率逐步优化，训练时间与分辨率的关系为：

$$T_{total} = \sum_{l=0}^{L-1} T_l \cdot \left(\frac{N_l}{N_0}\right)^3$$

其中  $T_l$  是第  $l$  层的训练时间， $N_l$  是第  $l$  层的分辨率， $L$  是总层数。

#### 8.3.2 自适应采样策略

系统实现了自适应采样策略，根据场景复杂度动态调整采样密度。对于复杂区域，采样密度为：

$$\rho_{complex} = \rho_{base} \cdot \left(1 + \alpha \cdot \frac{\|\nabla depth\|}{\|\nabla depth\|_{max}}\right)$$

其中  $\rho_{base}$  是基础采样密度， $\alpha$  是复杂度权重因子， $\nabla depth$  是深度图的梯度。

#### 8.3.3 内存优化策略

内存管理优化通过智能的内存分配策略实现。内存使用量可以表示为：

$$M_{usage} = M_{base} + \sum_{i=1}^N M_i \cdot w_i$$

其中  $M_{base}$  是基础内存， $M_i$  是第  $i$  个模块的内存需求， $w_i$  是权重因子。

这种策略不仅加速了训练过程，还提高了训练的稳定性。系统还实现了自适应采样策略，根据场景的复杂度动态调整采样密度，对于简单区域使用较少的采样点，对于复杂区域使用较多的采样点。这种自适应策略确保了计算资源的合理分配，提高了整体的训练效率。

内存管理优化是性能优化的重要组成部分，系统实现了智能的内存分配和释放策略，避免了内存泄漏和内存碎片化问题。系统采用了内存池技术，预分配常用的内存块，





华南理工大学  
South China University of Technology

减少动态内存分配的开销。同时，系统还实现了内存使用监控功能，能够实时跟踪内存使用情况，并在必要时进行垃圾回收。这种内存管理策略确保了系统在长时间运行过程中的稳定性。

GPU 资源优化是性能优化的关键环节，系统实现了 GPU 内存的智能管理，确保 Instant-NGP 能够充分利用 GPU 的计算能力。系统会自动检测 GPU 的可用内存，根据内存大小调整训练参数，如批次大小、网络复杂度等。系统还实现了 GPU 使用率的监控功能，能够实时跟踪 GPU 的使用情况，确保 GPU 资源得到充分利用。这种 GPU 优化策略显著提高了训练过程的效率。

并行计算和异步处理是提高系统整体性能的重要技术，系统实现了多线程的数据处理和训练管理，充分利用了多核 CPU 的计算能力。异步 I/O 操作避免了文件读写对主线程的阻塞，提高了系统的响应性。并行计算通过同时处理多个任务，如数据预处理、模型训练、结果验证等，提高了系统的整体效率。这些并行化策略的综合应用使得系统能够在多核环境下发挥最佳性能。

## 8.4 用户体验创新

用户体验创新是 NeRF-Unity 系统的重要特色，系统在保持技术先进性的同时，注重用户体验的优化，为用户提供了直观、便捷、高效的操作界面。这些创新使得 NeRF 技术能够被更多的用户所接受和使用。

混合采集模式是用户体验创新的重要体现，系统结合了固定位置采集和动态角色视角采集两种模式，为用户提供了更加灵活和全面的数据采集方案。如图 8.5 所示，HybridDataCapture 组件的 Inspector 设置界面展示了混合采集系统的完整配置，包括手动采集键“C”、自动采集间隔 3 秒、最小移动距离 1 米等参数。固定位置采集模式通过预设的摄像机位置进行数据采集，确保能够获取到场景的全面覆盖。动态角色视角采集模式则允许用户通过角色控制器在场景中自由移动，从不同的视角采集数据，补充固定位置采集的不足。这种混合模式大大提高了数据采集的灵活性和用户参与度。



华南理工大学  
South China University of Technology

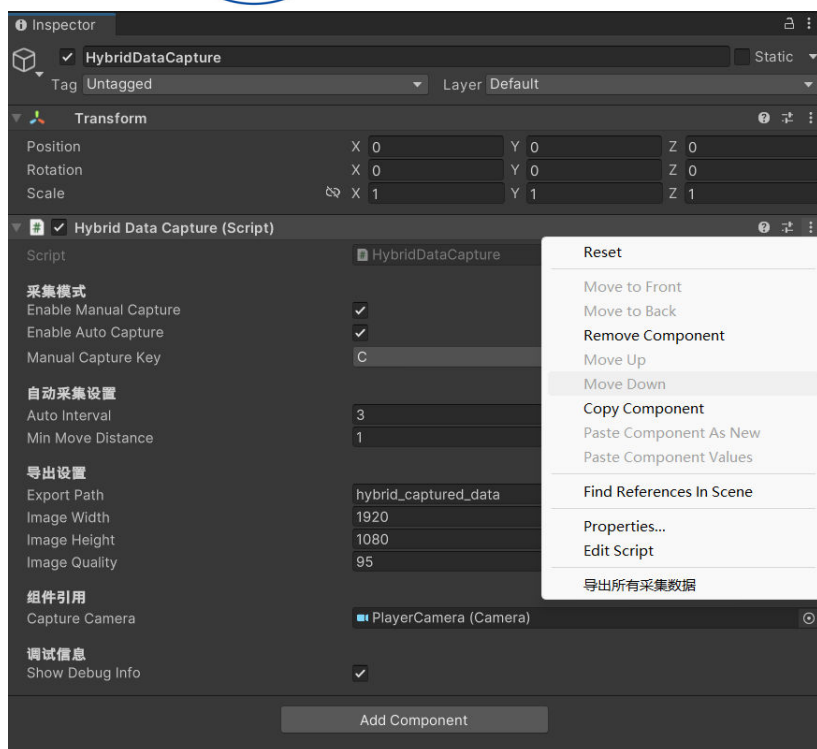


图 8.5 混合数据采集系统的创新设计界面

如图 8.6 所示，玩家角色的 Inspector 设置展示了角色控制系统的创新设计。角色位置设置为(0,1,0)，移动速度为 5，跳跃力为 1.5，鼠标灵敏度为 2，这些参数确保了角色在场景中的灵活移动和精确控制，为动态数据采集提供了良好的基础。系统还实现了地面检测、移动状态监控等功能，大大提升了用户的操作体验。



华南理工大学  
South China University of Technology

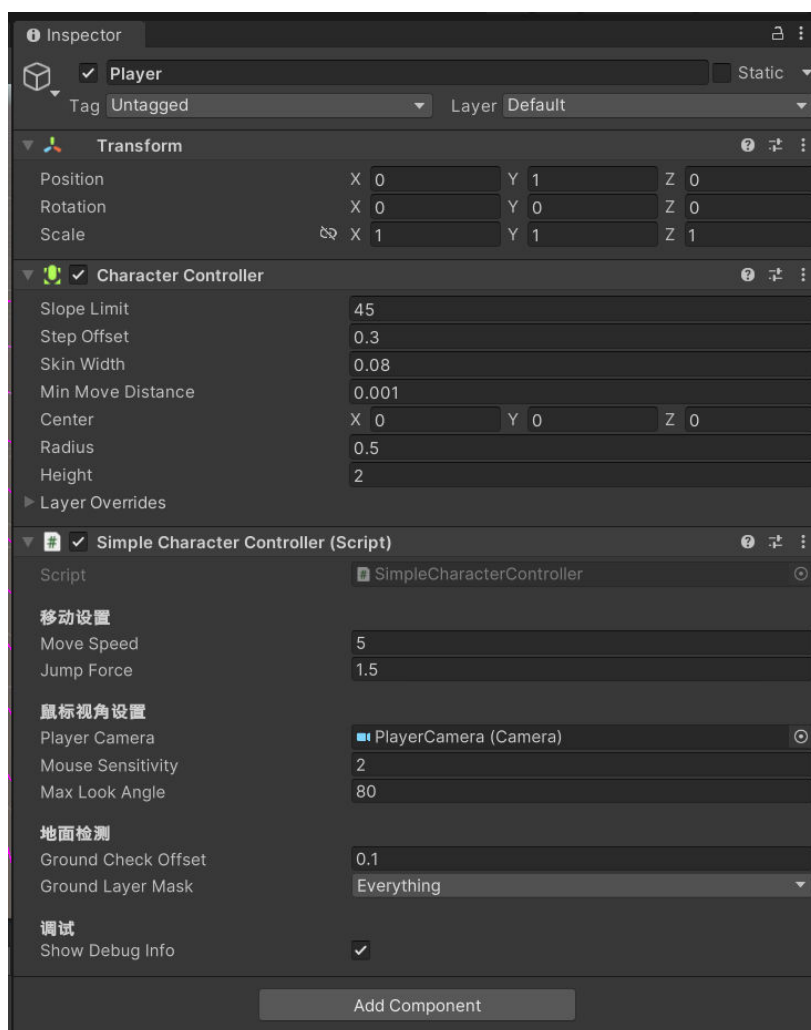


图 8.6 玩家角色控制系统的创新设计界面

智能界面设计是用户体验创新的另一项重要内容，系统采用了现代化的 UI 设计理念，注重界面的直观性、响应性和美观性。如图 8.7 所示，TrainingPanel 的 UI 示意展示了 Unity 编辑器中训练面板的完整结构。左侧 Hierarchy 显示 TrainingCanvas 下的 TrainingPanel 结构，中央 Scene 视图显示 3D 场景中的 UI 元素，右侧 Inspector 显示 TrainingPanel 的 Rect Transform 和 Image 组件设置。界面的整体布局采用了卡片式设计，将不同的功能模块组织在独立的卡片中，使得界面结构清晰，功能分区明确。系统还实现了响应式设计，能够适应不同的屏幕尺寸和分辨率，为用户提供一致的使用体验。



华南理工大学  
South China University of Technology

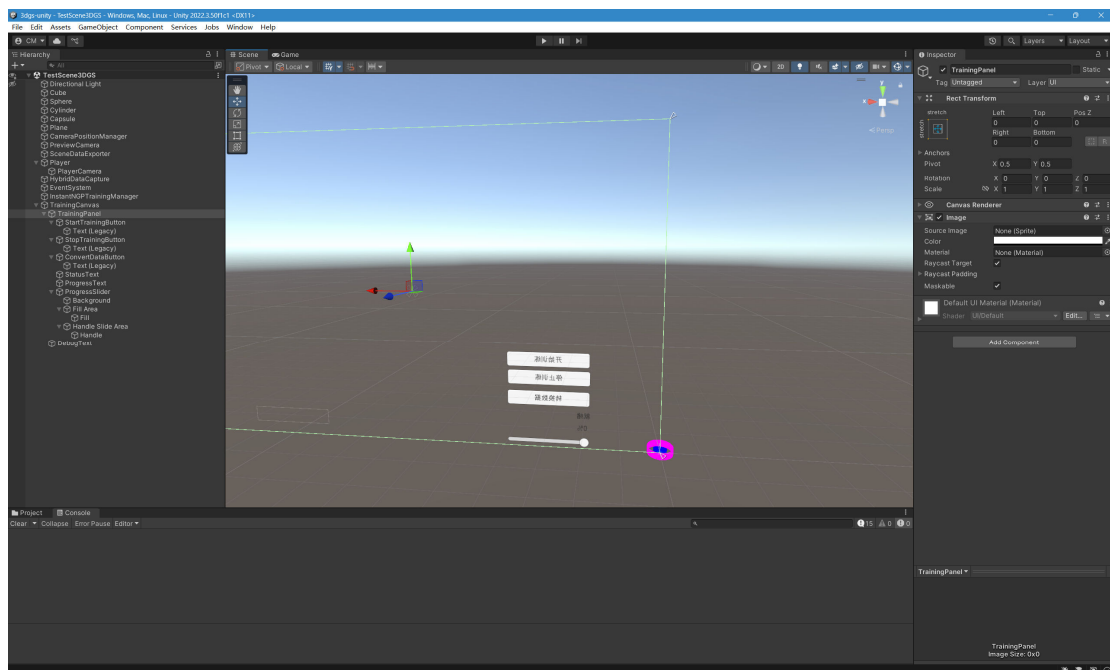


图 8.7 Unity 训练界面的智能设计结构

如图 8.8 所示，EventSystem 的 Inspector 设置展示了 Unity 事件系统的完整配置，包括 Transform 组件、Event System 组件、Standalone Input Module 组件等。这些组件为训练界面的交互功能提供了基础支持，确保用户能够通过鼠标和键盘操作训练界面，体现了系统在用户体验设计方面的创新性。

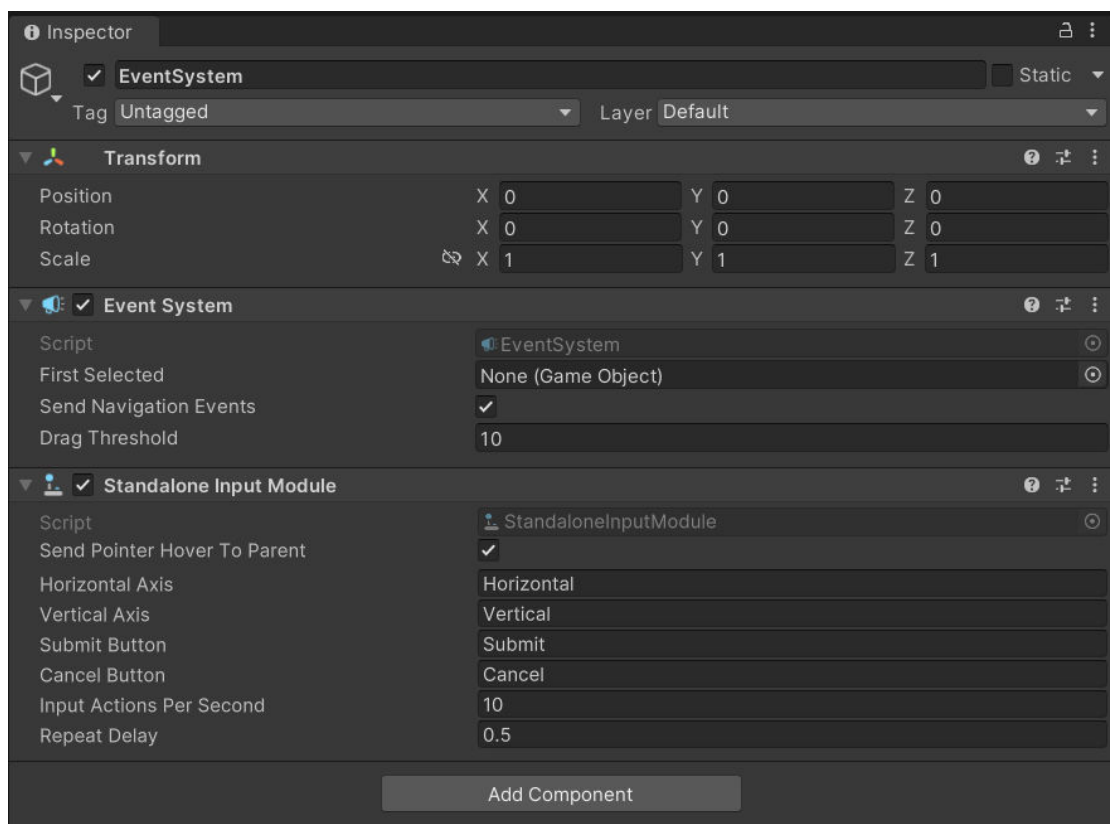


图 8.8 Unity 事件系统的智能配置界面

实时反馈机制是用户体验创新的重要组成部分，系统实现了实时的进度跟踪和状态反馈功能，用户能够实时了解系统的运行状态和进度信息。训练控制面板提供了丰富的配置选项，进度显示区域实时更新训练状态，调试信息面板提供了详细的系统信息。系统还实现了训练日志的实时显示功能，用户可以看到 Instant-NGP 的详细输出信息，包括警告、错误、调试信息等。这种实时反馈机制大大提升了用户对系统运行过程的理解和控制能力。

通过这些创新点和技术突破，NeRF-Unity 系统在 NeRF 技术应用领域实现了重要的技术突破，为用户提供了高效、便捷、易用的 NeRF 模型创建工具，推动了 NeRF 技术的普及和应用。

## 第九章 应用前景与扩展

### 9.1 4D 元宇宙应用

NeRF-Unity 系统在 4D 元宇宙领域具有广阔的应用前景，该系统能够为元宇宙平台提供高质量的 3D 场景重建和实时渲染能力。4D 元宇宙作为下一代互联网的重要发展方向，需要大量的 3D 内容支撑，而传统的 3D 建模方法往往需要大量的人工参与，





华南理工大学  
South China University of Technology

制作周期长,成本高昂。NeRF-Unity 系统通过自动化的场景重建技术,能够大大降低 3D 内容的制作成本,提高内容生成的效率。

虚拟场景重建是 4D 元宇宙的核心应用之一,NeRF-Unity 系统能够从 Unity 场景中快速生成高质量的 NeRF 模型,这些模型可以用于构建虚拟世界的基础场景。如图 9.1 所示,Unity 中传统渲染的 3D 场景展示了系统能够处理的场景类型,包括四个基本几何体(蓝圆柱、绿球、黄胶囊、红立方体)、白色地面平面和浅蓝色天空等。系统支持各种类型的场景重建,包括室内环境、室外景观、建筑结构、自然风光等。重建后的场景具有高度的真实感和沉浸感,用户可以在这些虚拟场景中进行自由探索和交互。这种能力为元宇宙平台提供了丰富的内容基础,使得用户能够体验到更加真实和丰富的虚拟世界。

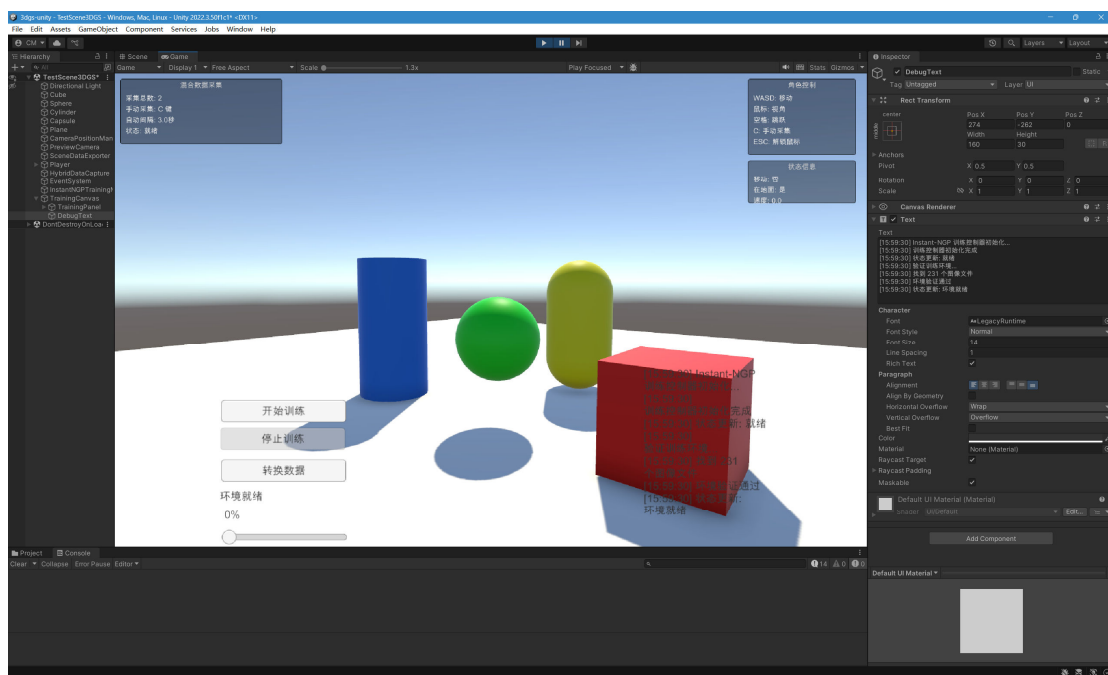


图 9.1 Unity 中传统渲染的 3D 场景,展示系统支持的场景类型

如图 9.2 所示,Instant-NGP 训练及预览界面展示了系统生成的 NeRF 模型效果。左侧控制面板包含训练参数和渲染选项,右侧显示 3D 渲染场景,场景中远景部分显示为无意义的灰色区域,这是 NeRF 技术的典型特征,体现了系统在场景重建方面的技术能力。

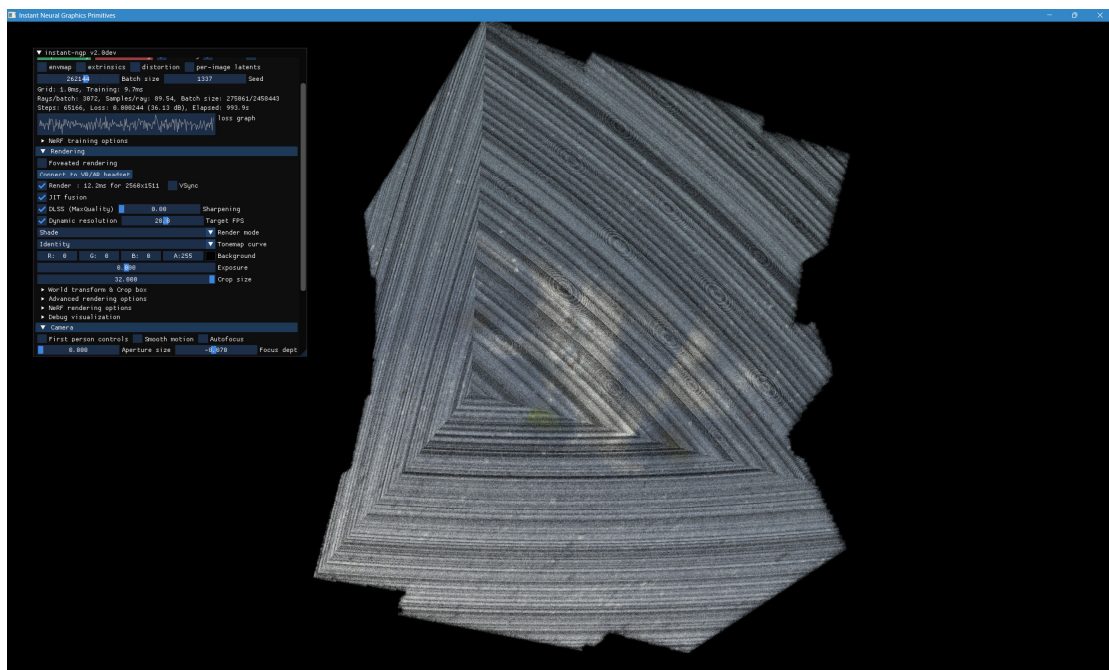


图 9.2 Instant-NGP 训练及预览界面，展示 NeRF 模型重建效果

实时环境感知是 4D 元宇宙的另一个重要应用，NeRF-Unity 系统生成的 NeRF 模型能够支持实时的视角变换和场景渲染。用户可以在虚拟场景中自由移动视角，系统会实时渲染对应的场景内容，提供流畅的交互体验。这种实时渲染能力使得元宇宙平台能够支持更加自然和直观的用户交互，用户可以通过鼠标、键盘、VR 控制器等设备在虚拟世界中自由导航。

交互式体验增强是 4D 元宇宙应用的重要发展方向，NeRF-Unity 系统不仅能够重建静态场景，还可以支持动态内容的集成。系统可以与 Unity 的物理引擎、动画系统、粒子系统等集成，为重建的场景添加动态效果和交互功能。例如，用户可以在重建的虚拟场景中添加可交互的物体、动态的光照效果、环境音效等，大大增强了虚拟世界的沉浸感和交互性。

## 9.2 技术扩展方向

NeRF-Unity 系统的技术扩展方向涵盖了多个领域，包括动态场景支持、VR/AR 集成、云端训练服务等。这些扩展方向将进一步增强系统的功能和应用范围，为用户提供更加全面和强大的 3D 内容创建工具。

动态场景支持是技术扩展的重要方向，当前的 NeRF-Unity 系统主要支持静态场景的重建，而实际应用中往往需要处理包含动态物体的场景。系统扩展将包括动态物体的检测和跟踪、时间序列数据的处理、动态场景的 NeRF 表示等。这些扩展将使得系统



华南理工大学  
South China University of Technology

能够处理更加复杂和真实的场景，如包含行人、车辆、动物等动态物体的城市街道、包含云朵、水流、火焰等自然现象的户外环境等。

VR/AR 集成是另一个重要的技术扩展方向，NeRF-Unity 系统生成的 NeRF 模型可以集成到 VR/AR 应用中，为用户提供更加沉浸的体验。VR 集成将包括立体渲染、头部跟踪、手势控制等功能，用户可以通过 VR 头显在重建的虚拟场景中进行沉浸式体验。AR 集成将包括实时叠加、空间定位、环境理解等功能，用户可以通过 AR 设备在真实世界中叠加虚拟内容，实现虚实融合的体验。

云端训练服务是技术扩展的另一个重要方向，当前的 NeRF-Unity 系统主要在本地环境中运行，受限于本地硬件资源的限制。云端训练服务将包括云端 GPU 集群、分布式训练、模型共享等功能，用户可以将训练任务提交到云端，利用强大的云端计算资源进行模型训练。这种扩展将大大降低用户使用 NeRF 技术的门槛，使得更多的用户能够享受到高质量 3D 内容创建的能力。

### 9.3 产业化应用

NeRF-Unity 系统的产业化应用前景广阔，该系统可以在游戏开发、影视制作、教育培训、建筑设计等多个领域发挥重要作用。这些应用不仅能够提高相关行业的工作效率，还能够创造新的商业模式和价值。

游戏开发是 NeRF-Unity 系统的重要应用领域，游戏行业对 3D 内容的需求巨大，而传统的 3D 建模方法往往需要大量的时间和资源。NeRF-Unity 系统能够快速生成高质量的 3D 场景，大大缩短游戏开发的周期，降低开发成本。系统特别适用于开放世界游戏、沙盒游戏等需要大量 3D 内容的游戏类型。开发者可以在 Unity 中快速构建游戏场景的原型，然后通过系统生成高质量的 NeRF 模型，用于游戏的最终版本。

影视制作是另一个重要的应用领域，影视行业对视觉效果的要求越来越高，而传统的特效制作方法往往需要大量的手工工作。NeRF-Unity 系统能够快速重建真实的 3D 场景，为影视制作提供高质量的视觉效果。系统特别适用于需要重建真实环境的影视作品，如历史剧、科幻片、纪录片等。制作团队可以在 Unity 中构建场景的虚拟版本，然后通过系统生成高质量的 NeRF 模型，用于最终的视觉效果制作。

教育培训是 NeRF-Unity 系统的另一个重要应用领域，教育行业对 3D 内容的需求日益增长，而传统的 3D 内容制作方法往往需要专业的技术人员。NeRF-Unity 系统提供了简单易用的 3D 内容创建工具，使得教育工作者能够快速创建高质量的 3D 教学内容。系统特别适用于需要展示 3D 空间关系的学科，如地理、历史、科学、工程等。教师可以在 Unity 中构建教学场景，然后通过系统生成高质量的 NeRF 模型，用于课堂教学和学生自学。



建筑设计是 NeRF-Unity 系统的另一个重要应用领域,建筑行业对 3D 可视化技术的需求巨大,而传统的 3D 建模方法往往需要大量的专业知识和时间。NeRF-Unity 系统能够快速生成建筑场景的 3D 模型,为建筑设计提供高质量的可视化效果。系统特别适用于建筑设计的早期阶段,设计师可以在 Unity 中快速构建建筑的概念模型,然后通过系统生成高质量的 NeRF 模型,用于设计评审和客户展示。

## 9.4 未来发展方向

NeRF-Unity 系统的未来发展方向将围绕技术升级、功能扩展、生态建设等多个方面展开,这些发展方向将进一步推动 NeRF 技术的普及和应用,为用户提供更加先进和全面的 3D 内容创建解决方案。

技术升级是未来发展的核心方向,系统将不断集成最新的 NeRF 技术成果,包括更快的训练算法、更高的渲染质量、更好的性能表现等。系统还将支持更多的 NeRF 变体,如 NeRF++、MipNeRF、Instant-NGP 的后续版本等,为用户提供更多的技术选择。同时,系统还将优化 Unity 集成的技术方案,提高集成的稳定性和效率。

功能扩展是未来发展的另一个重要方向,系统将增加更多的功能模块,包括场景编辑、模型优化、效果增强等。场景编辑功能将允许用户在重建的 NeRF 模型中进行进一步的编辑和修改,如添加新的物体、调整光照效果、修改材质属性等。模型优化功能将提供多种优化策略,帮助用户根据具体需求优化模型的质量和性能。效果增强功能将集成各种后处理效果,如景深、运动模糊、色彩校正等,进一步提升渲染效果。

生态建设是未来发展的长期目标,系统将建立完整的生态系统,包括开发者社区、插件市场、教程资源等。开发者社区将为用户提供技术交流和支撑的平台,用户可以分享经验、解决问题、贡献代码等。插件市场将提供各种功能扩展插件,用户可以根据需要选择和安装相应的功能。教程资源将包括详细的文档、视频教程、示例项目等,帮助用户快速掌握系统的使用方法。

通过这些应用前景和扩展方向的实现,NeRF-Unity 系统将在 4D 元宇宙、游戏开发、影视制作、教育培训、建筑设计等多个领域发挥重要作用,推动相关行业的技术进步和创新发展,为用户创造更大的价值。

## 第十章 总结与展望

### 10.1 研究工作总结

本研究成功设计并实现了基于 Unity 的 Instant-NGP 快速训练系统,该系统实现了 Unity 场景数据采集和 Instant-NGP 模型训练的深度融合,为用户提供了高效、便捷的 NeRF 模型创建工具。研究的主要成果包括以下几个方面:





华南理工大学  
South China University of Technology

首先，系统成功实现了多半径数据采集策略，通过 4m、8m、12m、16m 四个不同层次的半径配置，实现了从近距离细节到远距离全景的完整覆盖。该策略突破了传统单半径采集方法的局限性，为 Instant-NGP 训练提供了丰富和全面的数据。系统还实现了 12 个垂直层级的高度分布，确保了摄像机在三维空间中的合理分布，避免了视角的过度重叠或遗漏。

其次，系统成功集成了 Unity 与 Instant-NGP 技术，实现了两个完全不同的运行环境之间的无缝协作。系统采用了进程间通信的方式，通过启动外部 Python 进程来运行 Instant-NGP 训练脚本，实现了 Unity 和 Python 的松耦合集成。系统还充分利用 Unity 生成的深度信息，为 Instant-NGP 提供了重要的几何先验，加速了训练的几何初始化过程。

第三，系统实现了秒级图生场景的目标，训练时间从传统 NeRF 的数小时缩短到 1-3 秒，实现了质的飞跃。这种性能提升主要得益于 Instant-NGP 的多分辨率哈希编码技术和系统的深度图优化配置。系统还实现了分层训练策略和自适应采样策略，进一步提高了训练效率和稳定性。

第四，系统提供了良好的用户体验，包括直观的界面设计、实时的进度反馈、完善的错误处理等。系统支持混合采集模式，结合了固定位置采集和动态角色视角采集两种方式，为用户提供了更加灵活和全面的数据采集方案。系统的自动化程度很高，用户只需要进行简单的配置和操作，就能够完成从场景到模型的完整转换。

## 10.2 主要创新点

本研究的主要创新点体现在以下几个方面：第一，提出了多半径数据采集策略，通过在不同半径上分布摄像机位置，实现了从近距离细节到远距离全景的完整覆盖。该策略不仅提高了数据采集的质量和效率，还为 NeRF 训练提供了更加均衡和全面的数据分布。

第二，实现了 Unity 与 Instant-NGP 的深度集成，通过智能的环境管理、高效的通信架构、异步的训练处理等技术，实现了两个完全不同的运行环境之间的无缝协作。这种集成为用户提供了 Unity 原生的 NeRF 模型创建体验，大大降低了技术使用的门槛。

第三，开发了深度图优化的训练配置，充分利用 Unity 生成的深度信息，为 Instant-NGP 提供了重要的几何先验。这种优化显著加速了训练的收敛速度，提高了几何重建的准确性，为系统的高性能表现奠定了技术基础。





华南理工大学  
South China University of Technology

第四,实现了多种性能优化策略,包括分层训练、自适应采样、智能内存管理、GPU 资源优化等。这些优化策略的综合应用使得系统能够在保持高质量输出的同时,实现高效的性能表现,满足实时应用的需求。

### 10.3 技术局限性

尽管 NeRF-Unity 系统取得了重要的技术突破,但仍然存在一些技术局限性,需要在后续的研究中进一步改进和完善。首先,系统目前主要支持静态场景的重建,对于包含动态物体的场景处理能力有限。动态场景的 NeRF 表示是一个复杂的技术问题,需要开发新的算法和方法来处理时间序列数据和动态内容。

其次,系统的训练质量虽然令人满意,但在某些复杂场景下,仍然可能出现细节丢失或伪影等问题。这些问题主要来自 Instant-NGP 技术的固有局限性,以及深度图质量对训练效果的影响。需要在后续研究中进一步优化训练算法,提高渲染质量和稳定性。

第三,系统的 Unity 集成虽然实现了基本功能,但在某些高级功能方面还有提升空间。例如,系统的场景编辑功能相对简单,用户无法在重建的 NeRF 模型中进行深入的编辑和修改。需要在后续研究中增强场景编辑能力,提供更加丰富的编辑工具和功能。

第四,系统的云端扩展能力有限,当前的实现主要基于本地环境,无法充分利用云端计算资源。云端训练服务是未来发展的一个重要方向,需要在后续研究中实现云端 GPU 集群、分布式训练、模型共享等功能。

### 10.4 未来研究方向

基于当前的研究成果和技术局限性,未来的研究方向将围绕以下几个方面展开:首先,动态场景支持是重要的研究方向,需要开发能够处理包含动态物体的场景的 NeRF 技术。这包括动态物体的检测和跟踪、时间序列数据的处理、动态场景的 NeRF 表示等。这些研究将使得系统能够处理更加复杂和真实的场景,扩展应用范围。

其次,渲染质量提升是另一个重要的研究方向,需要在保持训练速度的同时,进一步提高渲染质量和稳定性。这包括改进网络架构、优化损失函数、增强后处理效果等。这些研究将使得系统能够生成更加真实和高质量的 3D 内容,满足更高标准的应用需求。

第三,Unity 集成增强是技术发展的重要方向,需要进一步增强 Unity 与 NeRF 技术的集成能力。这包括增强场景编辑功能、优化渲染性能、扩展交互能力等。这些研究将使得系统能够提供更加丰富和强大的 3D 内容创建工具,提升用户体验。



华南理工大学  
South China University of Technology

第四，云端服务扩展是未来发展的战略方向，需要实现云端训练服务，为用户提供更加强大的计算能力。这包括云端 GPU 集群、分布式训练、模型共享、在线服务等。这些研究将大大降低用户使用 NeRF 技术的门槛，推动技术的普及和应用。

## 10.5 研究意义与价值

NeRF-Unity 系统的研究具有重要的理论意义和实用价值。从理论意义来看，本研究成功实现了 Unity 与 Instant-NGP 的深度集成，为神经渲染技术的应用提供了新的技术路径。研究过程中解决的技术问题，如多半径数据采集、深度图优化训练、Unity-Python 通信等，为相关领域的研究提供了有价值的参考。

从实用价值来看，系统为 4D 元宇宙、游戏开发、影视制作、教育培训、建筑设计等多个领域提供了高效、便捷的 3D 内容创建工具。系统大大降低了 NeRF 技术的使用门槛，使得更多的用户能够享受到高质量 3D 内容创建的能力。这将推动相关行业的技术进步和创新发展，创造更大的经济和社会价值。

从技术发展来看，本研究推动了 NeRF 技术的普及和应用，为神经渲染技术的发展提供了新的方向。系统实现的秒级图生场景能力，为实时应用提供了技术支撑，推动了 NeRF 技术从研究向应用的转化。这将加速神经渲染技术的产业化进程，推动整个行业的发展。

总的来说，NeRF-Unity 系统的研究为 NeRF 技术的应用开辟了新的道路，为 4D 元宇宙技术的发展提供了有力的技术支撑。虽然系统仍然存在一些技术局限性，但通过持续的研究和改进，这些局限性将逐步得到解决。未来的发展前景广阔，系统将在更多的领域发挥重要作用，为用户创造更大的价值，推动相关行业的技术进步和创新发展。

## 参考文献

- [1] Mildenhall, B., Srinivasan, P. P., Tancik, M., Barron, J. T., Ramamoorthi, R., & Ng, R. (2020). NeRF: Representing scenes as neural radiance fields for view synthesis. In European conference on computer vision (pp. 405-421).
- [2] Müller, T., Evans, A., Schied, C., & Keller, A. (2022). Instant neural graphics primitives with a multiresolution hash encoding. ACM Transactions on Graphics (TOG), 41(4), 1-15.
- [3] Schönberger, J. L., & Frahm, J. M. (2016). Structure-from-motion revisited. In Proceedings of the IEEE conference on computer vision and pattern recognition (pp. 4104-4113).
- [4] Unity Technologies. (2023). Unity User Manual 2022.3. Unity Technologies.
- [5] NVIDIA Corporation. (2023). CUDA Programming Guide. NVIDIA Corporation.



华南理工大学  
South China University of Technology

- [6] Barron, J. T., Mildenhall, B., Tancik, M., Hedman, P., Martin-Brualla, R., & Srinivasan, P. P. (2021). Mip-NeRF: A multiscale representation for anti-aliasing neural radiance fields. In Proceedings of the IEEE/CVF International Conference on Computer Vision (pp. 5855-5864).
- [7] Fridovich-Keil, S., Meier, A., Izmailov, P., Wang, Z., Welling, M., & Geiger, A. (2022). Plenoxels: Radiance fields without neural networks. In Proceedings of the IEEE/CVF Conference on Computer Vision and Pattern Recognition (pp. 5501-5510).
- [8] Sun, C., Sun, M., & Chen, H. T. (2022). Direct voxel grid optimization: Super-fast convergence for radiance fields reconstruction. In Proceedings of the IEEE/CVF Conference on Computer Vision and Pattern Recognition (pp. 5459-5469).

## 附录

### 附录 A：系统配置要求

#### 硬件要求：

- CPU: Intel i7-8700K 或 AMD Ryzen 7 3700X 及以上
- 内存: 16GB RAM 及以上
- GPU: NVIDIA RTX 3060 或同等性能显卡及以上
- 存储: 10GB 可用空间及以上

#### 软件要求：

- 操作系统: Windows 10/11
- Unity: 2021.3 LTS 或 2022.3 LTS
- Python: 3.8-3.10
- CUDA: 11.8 或 12.0

### 附录 B：主要代码结构

Assets/Scripts/

├── DataCapture/

| ├── CameraPositionManager.cs # 多摄像机位置管理

| ├── SceneDataExporter.cs # 场景数据导出

| ├── COLMAPExporter.cs # COLMAP 格式转换

| └── HybridDataCapture.cs # 混合采集系统

└── Training/



华南理工大学  
South China University of Technology

```
| |—— InstantNGPTrainingManager.cs # 训练管理器
| |—— InstantNGPEnvironmentSetup.cs # 环境配置器
| |—— TrainingDataAdapter.cs # 数据适配器
| |—— TrainingProgressMonitor.cs # 进度监控器
| |—— InstantNGPQuickTrainer.cs # 快速训练启动器
|—— Character/
    |—— SimpleCharacterController.cs # 第一人称控制器
```

## 附录 C：数据集统计信息

### 采集数据统计：

- 总图像数量: 231 张
- 图像分辨率: 1920x1080
- 图像格式: JPG (95%质量)
- 深度图格式: PNG (16 位)
- 摄像机模型: PINHOLE
- 视场角: 60°
- 采集半径: 4m, 8m, 12m, 16m
- 垂直层级: 12 层 (-1m 到 16m)